

Sinkronizacija sunčevih kolektora i dizalice topline zrak/voda u sustavu grijanja i hlađenja građevine

Detić, Matej

Master's thesis / Diplomski rad

2020

Degree Grantor / Ustanova koja je dodijelila akademski / stručni stupanj: **University North / Sveučilište Sjever**

Permanent link / Trajna poveznica: <https://urn.nsk.hr/um:nbn:hr:122:713175>

Rights / Prava: [In copyright/Zaštićeno autorskim pravom.](#)

Download date / Datum preuzimanja: **2024-05-07**

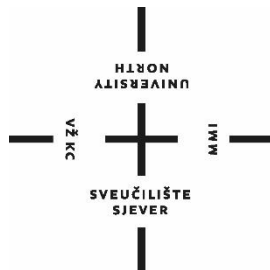


Repository / Repozitorij:

[University North Digital Repository](#)



**SVEUČILIŠTE SJEVER
SVEUČILIŠNI CENTAR VARAŽDIN**



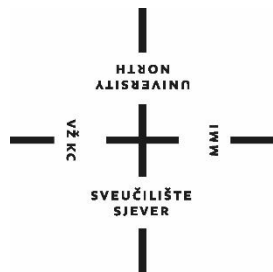
DIPLOMSKI RAD br. 008/STR/2020

**SINKRONIZACIJA SUNČEVIH
KOLEKTORA I DIZALICE TOPLINE
ZRAK/VODA U SUSTAVU GRIJANJA I
HLAĐENJA GRAĐEVINE**

Matej Detić

Varaždin, rujan 2020.

SVEUČILIŠTE SJEVER
SVEUČILIŠNI CENTAR VARAŽDIN
Studij Strojarstvo



DIPLOMSKI RAD br. 008/STR/2020

**SINKRONIZACIJA SUNČEVIH
KOLEKTORA I DIZALICE TOPLINE
ZRAK/VODA U SUSTAVU GRIJANJA I
HLAĐENJA GRAĐEVINE**

Student:
Matej Detić, 0909/336D

Mentor:
prof.dr.sc. Ante Čikić

Varaždin, rujan 2020.

Prijava diplomskog rada

Definiranje teme diplomskog rada i povjerenstva

ODJEL Odjel za strojarstvo

STUDIJ diplomski sveučilišni studij Strojarstvo

PRISTUPNIK Detić Matej | MATIČNI BROJ 0909/336D

DATUM 15. srpnja 2020. | KOLEGI KGH sustavi

NASLOV RADA Sinkronizacija sunčevih kolektora i dizalice topline zrak/voda u sustavu
grijanja i hlađenja građevine

NASLOV RADA NA ENGL. JEZIKU Synchronization of solar collectors and air / water heat pumps in the building
heating and cooling system

MENTOR prof.dr.sc. Ante Čikić | ZVANIĆ redoviti profesor

ČLANOKI POVJERENSTVA 1. prof.dr.sc. Živko Kondić - predsjednik povjerenstva

2. doc.dr.sc. Tomislav Veliki

3. doc.dr.sc. Zlatko Botak

4. prof.dr.sc. Milan Kljain - rezervni član

5. _____

Zadatak diplomskog rada

BRD 008/STR/2020

OPIS

Stambena građevina locirana na području grada Varaždina u zimskom periodu se grije, a u ljetnom periodu se rashlađuje pomoću termotehničke instalacije s ventilokonvektorima. Temperaturni režim rada tople vode iznosi 55/45 C, a hladne vode 7/12 C. Grijanje odnosno hlađenje vode provodi se pomoću sunčevih pločastih kolektora i dizalice topline vanjski zrak/voda. Za grijanje građevine potrebna je maksimalna toplinska snaga 25 kW, a za hlađenje 18 kW. Cjelogodišnji režim rada i regulacija energetskog učinka provodi se sukladno podešenoj unutarnjoj temperaturi zraka i promjenjivim vanjskim mikroklimatskim uvjetima na lokaciji građevine. Potrebno je proračunati, optimalno dimenzionirati, odabrati i opisati sunčeve pločaste kolektore i dizalicu topline odgovarajućeg toplinskog/rashladnog učinka sukladno mikroklimatskim uvjetima i mogućnosti akumulacije toplinske energije. Za cjelogodišnje pokrivanje toplinskih gubitaka/dobitaka sinkronizirati rad sunčevih kolektora i dizalice topline s prioritetom korištenja sunčevih kolektora u svim intervalima grijanja i dozračene sunčeve energije. Proračunati ekonomičnost termotehničkog sustava te učestalost rada pojedinih uređaja tijekom cjelogodišnjeg korištenja. Uz analitičke i pisane sadržaje, grafički (crti - dispozicija prema odabranom primjeru, slike, tablice, dijagrami...) ilustrirati rezultate razmatranja i prikazati ih prepoznatljivo stručnoj praksi. Dati odgovarajuće analize, komentari i zaključak sa preporukama

PODUPREMIK: ... i potpis: ... Potpis: ... Datum: ... Potpis: ... Potpis: ... Potpis: ...

ZADATARUČEN:

15.09.2020.



FOTO MENTORA

R. Čikić

Predgovor

Na samome početku zahvalio bih se svim profesorima koji su bili dio moga fakultetskoga obrazovanja i svojim savjetima mi omogućili da budem što uspješniji student za vrijeme studiranja.

Veliko hvala mome mentoru prof.dr.sc. Ante Čikiću na svim stručnim savjetima tijekom pisanja ovoga diplomskog rada te mu hvala što me je zainteresirao i uveo u ovo područje strojarstva.

Također bih se zahvalio svojim roditeljima na neizmjernoj potpori i žrtvi kako bih završio ovaj studij. Zahvaljujem se sestrama Luciji i Andreji na savjetima i pomoći tijekom studiranja. Neizmjerno se zahvaljujem baki i djedu također na velikoj potpori za vrijeme studiranja.

Posebno bih se zahvalio mojoj zaručnici Anamariji koja je bila uz mene sve lijepo i teške dane ovoga fakultetskog obrazovanja te svojim riječima podrške, ljubavi i savjetima pomogla mi da postanem ono što danas jesam.

Na kraju bi se zahvalio Matiji na savjetima tijekom studiranja te svima kolegama, prijateljima i ljudima dobre volje koji su na bilo kakav način doprinijeli mome uspjehu!

Veliko hvala svima!

Sažetak

Glavni zadatak diplomskog rada je bio proračunati učestalosti uključivanja dizalice topline i solarnih kolektora u periodu grijanja odnosno hlađenja. Rad je podijeljen na dva dijela, prvi dio u kojem se obrađuje teorija te drugi praktičan dio. U prvom dijelu opisan je princip rada dizalica topline sa potkrijepljenim shemama, pojašnjeni su izvori energije i način rada te je napravljena tablica prednosti i nedostataka ovakvih sustava. Nakon toga razrađeno je poglavlje solarnih sustava sa sunčanim kolektorima, njihovim osnovnim elementima te principom rada. Praktičan dio počinje sa prikazom meteoroloških podataka za odabранo područje grada Varaždina. Na temelju prikupljenih podataka za razdoblje od 1991-2010 dani su projektni parametri. Iz ulaznih parametara odabire se eventualna dizalica topline te solarni kolektori. Da bi se ušlo u proračun definira se period grijanja i hlađenja a nakon čega se za taj period prikupljaju podaci o prosječnim satnim, dnevnim i mjesecnim temperaturama a isti postupak se radi za insolaciju određenog područja, zbog dostupnosti uzimaju se podaci za 2015/16 godinu. Podaci o prosječnim temperaturama i insolaciji klasificiraju se u periode po 10 podjela za određenim mjesec, nakon čega se ulazi u proračun te se donose zaključci o sinkronizaciji dizalice topline i solarnih kolektora na temelju postignutih rezultata.

Ključne riječi: grijanje, hlađenje, dizalica topline, solarni sustavi, temperatura medija, insolacija, sinkronizacija sustava.

Summary

The main task of the graduation thesis was to calculate the frequency of switching the heat pump and solar collectors in the heating period and cooling period. The graduation thesis is divided into two parts,in the first part which deals with the theory and the second is practical part. The first part describes the principle of heat pumps with supported schemes, explains energy sources and mode of operation and makes a table of advantages and disadvantages of such systems. After that, the chapter of solar systems with solar collectors, show us their basic elements and the principle of work. The practical part begins with the presentation of meteorological data for the selected area the city of Varaždin. The project parameters are given based on the collected data for the period since 1991 to 2010. The eventual heat pump and solar collectors are selected based on the input parameters. In order to enter the budget, the heating and cooling period is defined, after which data on average hourly, daily and monthly temperatures are collected for that period, and the same procedure is done for insolation of a certain area, due to availability, data for 2015/16 are taken. Data on average temperatures and insolations are classified in a period of 10 divisions for a given month. With this data, certain parameters are calculated and conclusions are made on the synchronization of heat pumps and solar collectors based on the achieved results.

Key words: heating, cooling, heat pump, solar sistem, temperature medium, insolation, synchronization systems.

Popis korištenih kratica

DT	Dizalica topline
PTV	Potrošna topla voda
TP	Toplinske pumpe
IR	Infracrveno zračenje
SS	Solarni sustav
NN	Narodne novine
HRN	Hrvatska norma
EN	Europska norma

Popis oznaka

Oznaka	Jedinica	Opis
λ	[μm]	valna duljina
T	[K]	temperatura
Q	[m^3/h]	protok
θ_{mm}	[$^\circ\text{C}$]	srednja dnevna temperatura zraka, srednjak po mjesecima
θ_{msd}	[$^\circ\text{C}$]	standardna devijacija srednje dnevne temperature zraka, po mjesecima
$\theta_{\min mm}$	[$^\circ\text{C}$]	dnevna temperatura zraka, minimum po mjesecima
$\theta_{\max mm}$	[$^\circ\text{C}$]	dnevna temperatura zraka, maksimum po mjesecima
θ_{SWmm}	[$^\circ\text{C}$]	dnevna amplituda temperature zraka, srednjak po mjesecima
R_{mm}	[mm]	dnevna količina oborine, srednjak po mjesecima
φ_{mm}	[%]	srednja relativna vlažnost, po mjesecima
θ_{2d}^*	[$^\circ\text{C}$]	vanska projektna temperatura zraka (grijanje) iz 2- dnevne srednje dnevne temperature zraka, 1-godišnji povratni period

θ_{2d}^{**}	[°C]	vanjska projektna temperatura zraka (grijanje) iz 2-dnevne srednje dnevne temperature zraka, 2-godišnji povratni period
$\theta_{0,4\%}^*$	[°C]	vanjska projektna temperatura zraka (hlađenje) iz srednje dnevne temperature zraka
θ_w^*	[°C]	pripadajuća temperatura vlažnog termometra
θ_d^*	[°C]	pripadajuća temperatura rosišta
$\varphi_{p0.4}^*$	[°C]	vanjska projektna relativna vlažnost, ljeto, premašena u 0,4% slučajeva
$\varphi_{p99.6}^*$	[°C]	vanjska projektna relativna vlažnost, zima, premašena u 99,6% slučajeva
N		broj godina podataka
$\theta_{\min ym}$	[°C]	temperatura za projektiranje grijanja
$\theta_{\max ym}$	[°C]	temperatura za projektiranje hlađenja
θ_w^*	[°C]	pripadajuća temperatura vlažnog termometra za projektiranje hlađenja
θ_d^*	[°C]	pripadajuća temperatura rosišta za projektiranje hlađenja
θ_{swym}	[°C]	pripadajuća dnevna amplituda zraka za projektiranje hlađenja
ϑ_{vz}	[°C]	vanjska projektna temperatura grijanja
ϑ_{pz}	[°C]	unutarnja projektna temperatura grijanja
ϑ_{vLJ}	[°C]	vanjska projektna temperatura hlađenja
ϑ_{PLJ}	[°C]	unutarnja projektna temperatura hlađenja
ϑ_{wp}	[°C]	temperatura vode grijanja, polaz
ϑ_{wpov}	[°C]	temperatura vode grijanja, povrat
ϑ_{wHp}	[°C]	temperatura vode hlađenja, polaz
ϑ_{wHpow}	[°C]	temperatura vode hlađenja, povrat
t_{gr}	dan	vrijeme grijanja
t_{hl}	dan	vrijeme hlađenja
Q_{Gmax}	[kW]	maksimalna potrebna toplinska snaga
Q_{HLmax}	[kW]	maksimalna potrebna rashladna snaga
ϑ_m	[°C]	srednja temperatura ogrjevnog medija
$\Delta\vartheta_{wn}$	[°C]	temperatura hladne vode

ϑ_p	[°C]	unutarnja projektna temperatura grijanja
ϑ_{vx}	[°C]	prosječna srednja temperatura izračunata za period grijanja na dnevnoj bazi
ϑ_{vz}	[°C]	vanska projektna temperatura grijanja
c_{pw}	[kJ/kgK]	specifični toplinski kapacitet vode
m_w	[kg]	masa vode
ϑ_{wp}	[°C]	temperatura polaznog voda
ϑ_{wpov}	[°C]	temperatura povratnog voda
Q_{uk}	[kWh]	ukupna potrebna toplinska energija za grijanje
Q_{DT}	[kWh]	toplinska energija osigurana dizalicom topline
Q_{INS}	[kWh]	toplinska energija osigurana insolacijom

Sadržaj

1. Uvod	1
2. Dizalice topline	2
2.1 Izvor energije dizalice topline.....	3
2.1.1 Tlo	3
2.1.2 Voda	5
2.1.3 Zrak	6
2.2 Prednosti i nedostaci	9
3. Sunčevi kolektori	10
3.1 Princip rada sustava sa sunčevim kolektorima	11
3.2 Elementi sustava sa sunčevim kolektorima	13
3.2.1 Sunčevi kolektori	13
3.2.2 Bivalentni spremnik topline	15
3.2.3 Solarni regulator	16
3.2.4 Ekspanzijska posuda	16
3.2.5 Solarni medij	16
3.2.6 Ostalo	16
4. Praktični dio	17
4.1. Meteorološki podaci	17
4.2. Odabir dizalice topline	21
4.3. Odabir sunčevih kolektora	23
5. Proračun ekonomičnosti termo-tehničkog sustava i učestalost rada pojedinih uređaja tijekom cjelogodišnjeg korištenja	24
5.1. Definiranje sezone grijanja/ hlađenja za potrebe proračuna	25
5.2. Izračun prosječnih temperatura na trodnevnoj bazi za period grijanja i period hlađenja.....	27
5.2.1 Srednja vrijednost vanjske temperature na području grada Varaždina za period grijanja	27
5.2.2 Srednja vrijednost vanjske temperature na području grada Varaždina za period hlađenja.....	34
5.3. Izračun prosječne vrijednosti insolacije na trodnevnoj bazi za period grijanja i hlađenja.....	38
5.4. Proračun temperature polaznog i povratnog voda ogrjevnog/rashladnog medija.....	46
5.4.1 Proračun temperature polaznog i povratnog voda ogrjevnog medija za promjenjive uvjete	46

5.4.2 Proračun temperature polaznog i povratnog voda rashladnog medija za promjenjive uvjete	50
5.5. Ekonomičnost prema učestalosti rada pojedinog sustava	54
6. Zaključak	58
7. Literatura.....	60
Popis slika.....	62
Popis tablica.....	62
Popis grafikona	64

1. Uvod

Godinama unatrag konvencionalni izvori energije, fosilna goriva ostavila su veliki negativan trag na ozonski omotač. Pojavljuju se razne utjecajne promjene na ekosustav kao kisele kiše, promjene klimatskih uvjeta i sl. Da bi se nastale promjene spriječile ističu se obnovljivi izvori energije koji su sve popularniji u današnje vrijeme. Obnovljivi izvori energije koji su praktički neiscrpni, dostupni su svuda i gotovo uvijek u većoj ili manjoj količini na našem planetu. Obnovljivi izvori se stalno ili određenim postupcima obnavljaju te ih je praktički nemoguće iscrpiti.

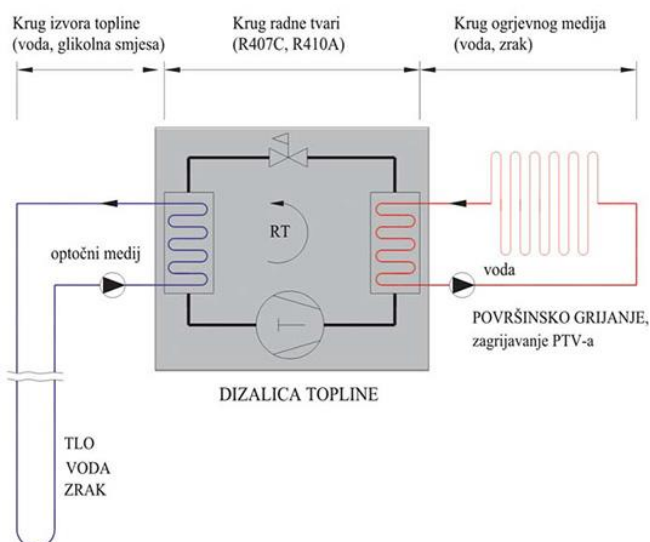
Obnovljive izvore energije prema načinu proizvodnje energije ili izvoru dobivanja dijelimo na energiju vjetra, sunca i vode (morske mijene, hidroenergija, hidrotermalna voda). Tu također spadaju energija dobivena iz biomase, drva te biljne kulture. Za razmatranje kod ovog diplomskog rada posebno je bitna energija dobivena iz sunca te energija dobivena dizalicama topline. Energija dobivena iz sunca može se koristiti preko solarnih panela za proizvodnju električne energije ili preko sunčevih kolektora za dobivanje toplinske energije u svrhu grijanja stambenog objekta ili PTV. Na tržištu su dva osnovna tipa sunčanih kolektora, pločasti i cijevni vakuumski kolektori. Princip rada sunčanih kolektora relativno je jednostavan, koji se može slikovito prikazati kao grijanje vode u vrtnom crijevu izloženom suncu samo u jednom proračunatom složenijem sustavu. Dizalice topline su vrlo korisni tehnički sustavi koji koriste geotermalnu energiju zemlje, podzemnih voda ili zraka za grijanje, hlađenje ili pripremu potrošne tople vode. Kod dizalica topline postoje sustavi tlo/voda, voda/voda i zrak/voda. Prvi element prikazuje medij iz kojeg se crpi energija a drugi element na kojeg se prenosi energija u krugu grijanja, hlađenja i pripreme PTV u stambenim objektima. Za razmatranje kod ovog diplomskog rada posebno je bitna dizalica topline koja koristiti toplinsku energiju iz zraka te ju prenosi pomoću termo-tehničkih elemenata na vodu.

Grijanje i hlađenje stambenog prostora je nešto što je za čovjeka nužno i potrebno gotovo cijeli period kroz godinu. Vrlo je bitno kod grijanja i hlađenja obratiti pozornost na osjećaj ugode koji je jasno unaprijed definiran. Prema tome bitno je podesiti sustave grijanja i hlađenja da su regulirani prema definiranim parametrima. Sunčevi pločasti kolektori tijekom zimskih mjeseci ne mogu zbog nedostatka sunčeva zračenja osigurati potrebnu toplinsku energiju te ih je upravo zbog toga potrebno kombinirati s nekim drugim sustavom grijanja i hlađenja u ovom slučaju dizalica topline zrak/voda. Oni u kombinaciji međusobno nadopunjaju jedno drugo te se na taj način jeftino i adekvatno stambeni prostor grie zimi i hladi u ljetnim mjesecima.

2. Dizalice topline

Dizalice topline poznate pod nazivom i toplinske pumpe u suštini su termo-tehnički uređaji koji koriste besplatnu pohranjenu energiju iz vode, tla ili zraka, sustava niže temperaturne razine, da bi prenijeli toplinsku energiju u sustav više temperaturne razine, kao na primjer centralno grijanje. Da bi se lakše predočio rad dizalice topline, može se napraviti usporedba sa hladnjakom. Hladnjak radi na principu prijenosa topline iz unutrašnjosti prema van dok dizalica topline posjeduje vanjsku jedinicu koja podiže temperaturu okolnog zraka za onoliki temperaturni raspon koji je potreban za pripremu potrošne tople vode ili za grijanje stambenog prostora(,Što su dizalice topline i kako rade“, 2020).

Da bi sustav s dizalicom topline funkcionirao potrebno je omogućiti povezanost tri osnovna kruga unutar samog sustava. Prvi krug čini prikupljanje topline iz okoliša tla, vode ili zraka, drugi krug sadržava sustav za podizanje temperature odnosno krug radne tvari te treći krug korištenje topline u stambenom prostoru ili krug ogrjevnog medija. Prema vrsti odvijanja procesa dizalice topline koriste ljevkretni kružni proces kod kojeg je radna tvar posrednik u prijenosu topline između niskotemperaturnog spremnika i visokotemperaturnog spremnika. „Dizalica topline posreduje u prijenosu topline između dva toplinska spremnika: niskotemperaturnog, kojem se toplina odvodi, te visokotemperaturnog, kojem se ta toplina dovodi, uvećana za snagu kompresora.“ (Soldo, Ruševljanić, 2011). Dizalica topline ugradnjom četveroputnog ventila u krugu radne tvari može raditi u režimu hlađenja i grijanja. Toplina iz hlađenog prostora odvodi se na isparivaču dizalice topline a ponor topline postaje okolišni zrak, podzemne vode ili tlo.



Slika 1. Dizalica topline (Shematski prikaz dizalice topline u krugu grijanja, bez dat.)

2.1 Izvor energije dizalice topline

Jedan od glavnih razloga zašto se dizalice topline svrstavaju pod obnovljive izvore energije je taj što koriste energiju sadržanu u okolišu a koja je regenerirajuća. Energija iz okoliša poput one iz vode, zraka ili tla smatra se čistom, neiscrpnom ekološki prihvatljivom i uvijek dostupnom. Velike su prednosti koje ovi izvori energije pružaju kod grijanja i hlađenja ovakvim sustavima.

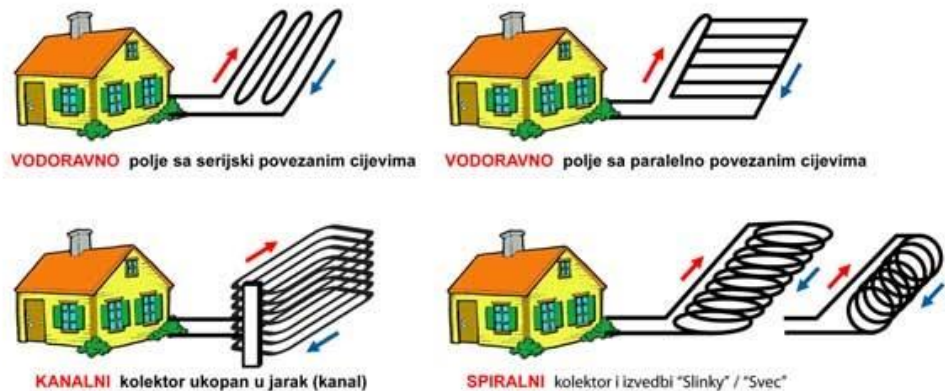
Kao što je spomenuto dizalice topline koriste energiju iz tri osnovna izvora a to su tlo, voda i zrak.

2.1.1 Tlo

Tlo je za dizalicu topline najsigurniji izvor topline ima konstantnu temperaturu koja se kreće od rasponu od 8°C do 12°C prema tome zimi je tlo puno toplije od vanjskoga zraka te se s uspješnošću koristi za zagrijavanje stambenog prostora. Sustav dizalice topline koji upotrebljava ovakav način izvora energije, dijeli se prema principu uzimanja topline iz tla a to su: dubinskom sondom i putem podzemnog kolektora („Što su dizalice topline i kako rade“, 2020).

Podzemni kolektori tj. plastične cijevi od polietilena (PE) polažu se na dubini 1,2 do 1,5 m te imaju dobra toplinska i fizikalna svojstva. Zbog opasnosti od prevelikog pada tlaka cijevi treba razvoditi po sekcijama te treba osobitu pozornost obratiti da zasebna sekcija ne smije biti duža od 100 m, također je vrlo bitno da sve sekciye budu približno jednake da kako bi se postigao isti pad tlaka na svim sekcijama a time i podjednaki protočni uvjeti (Martinić, 2010). Prema izvoru (EKO – PLUS (bez dat.) postoje 4 različite izvedbe kolektorskih polja, a to su vodoravno polje sa serijski povezanim cijevima, vodoravno sa paralelno povezanim cijevima, kanalni kolektor ukopan u jarak te spiralni kolektor u izvedbi „Slinky“. Svi tipovi podzemnih kolektora prikazani su na slici 2.

Načini izvođenja **ZEMLJANIH** kolektorskih polja:



Slika 2. Izvedbe podzemnih kolektora (Toplinske pumpe, bez dat.)

Kod dimenzioniranja potrebno je obratiti pozornost na sastav tla, raspoloživost tla, način rada sustava s dizalicom topline, raspoloživu površinu zemlje, način polaganja kolektora, duljinu i dimenziju cijevi (Soldo, Ruševljan, 2011). Kod ovakvog sustava cijevima protjeće ili voda ili plin ovisno o izvedbi.

Dubinska sonda u sustavima sa dizalicom topline postavlja se u obliku U-cijevi te kroz nju najčešće struji voda. Dubinska sonda rješava nedostatak podzemnih kolektora koje je nemoguće ugraditi ako nije pogodna površina za ugradnju ili je loši sastav tla. Sonde najbolje omogućuju da ne dolazi do odstupanja temperature tj. da je ona konstantna jer na njih nema utjecaja klimatskih promjena. Klimatske promjene ne utječu na temperaturu jer su sonde ukopane na dubine između 100 i 200 metara.



Slika 3. Dubinska sonda (Toplinske pumpe, bez dat.)

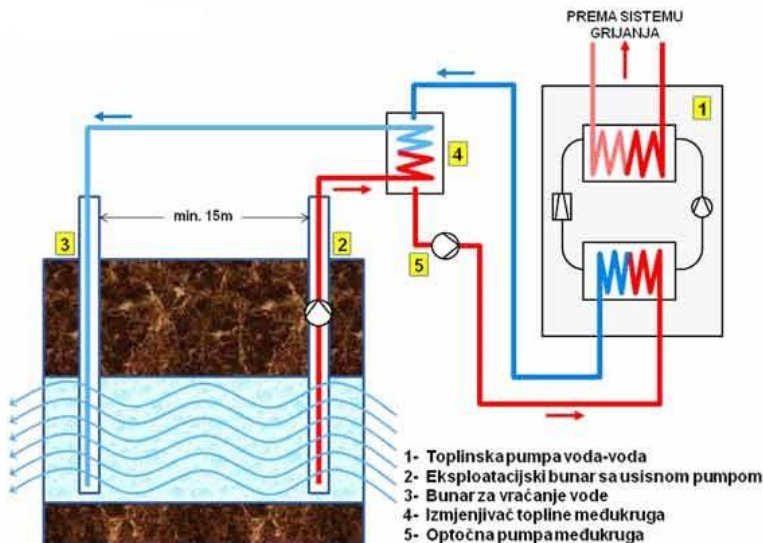
Kod postupka postavljanja sonde, probna bušotina se analizira na način da geolog ispituje na svakom metru dubine kakav je sastav uzorka zemlje. Ovo ispitivanje sastava zemlje služi kako bi se stvorio dijagram specifičnog učinka zemlje kroz cijelu duljinu bušotine te bi se prema njemu odredila iskoristivost TP (toplinske pumpe). Kada je bušenje rupe završeno na odgovarajuću dubinu u nju se stavljuju sonde koje su prethodno predmontirane te se šupljine između sonde i izbušene rupe ispunjavaju posebnim punilom od cementa i betonita (EKO – PLUS, bez dat.).

2.1.2 Voda

Kada dizalice topline koriste vodu kao izvor energije za rad sustava, ona može iz različiti izvora kao što su: rijeke, toplina jezera, mora, podzemnih voda ili čak i otpadna voda iz različitih industrija pogodnih za korištenje kod ovakvih postrojenja. Velika prednost vode kao izvora topline je taj što npr. podzemna voda i u zimskim mjesecima kada je temperatura zraka relativno niska zadržava konstantnu temperaturu između 7 – 12 °C. Također temperatura u rijekama i jezerima na dnu nikad gotovo ne pada ispod 4°C, dok temperatura mora varira kroz godinu između 11°C i 24°C. Ovi podaci o temperaturama različitih izvora voda utječu na COP koeficijent (coefficient of performance= faktor grijanja ili toplinski množitelj) koji opisuje omjer promjene topline prema uloženom radu i relativno je konstantan tijekom cijele godine („EKO – PLUS“, bez dat.).

Kod ovakvih termo-tehničkih rješenja na razmaku od najmanje 15 metara koriste se dvije bušotine kao primarni izvor energije, gdje se iz jedne bušotine voda crpi na temperaturi oko 10 °C dok druga bušotina ili cijev služi za vođenje „otpadne“ vode natrag prema izvoru.

„Najmanji protok Q vode treba iznositi 2 m³/h što se može postići već na 5 m dubine, što ovisi o hidrogeološkim značajkama. Podzemna voda uzima se u eksplotacijskom bunaru i transportira do isparivača TP voda-voda, slika 4. Nakon toga se ohlađena voda odvodi u bunar za vraćanje vode. Proizvođači TP preporučuju uporabu izmjenjivača topline među-kruga jer su visokoučinkoviti pločasti izmjenjivači topline unutar TP osjetljivi na promjenjivu kvalitetu vode (pijesak, nečistoće, kamenac i sl.). Prijenos topline između izmjenjivača među-kruga i toplinske pumpe odvija se putem rasoline.“ („EKO – PLUS“, bez dat.).



Slika 4. Toplinska pumpa voda – voda (Toplinske pumpe, bez dat.)

2.1.3 Zrak

Osim izvora energije iz tla i vode dizalice topline crpe i toplinsku energiju iz zraka. Zrak je najpovoljniji energet pošto je svuda oko nas a u odnosu na vodu i tlo nema dubinskog bušenja za polaganje sondi a niti je potrebno bušenje bunara. Ovaj princip dizalice topline će se detaljnije razmotriti u ovome poglavljju pošto će kasnije u praktičnom dijelu biti korišten upravo ovaj tip dizalice topline.

Ova vrsta dizalice topline koristi besplatnu energiju pohranjenu u zraku. Princip rada objašnjen je u nastavku na primjeru dizalice topline zrak/voda. U okolnome zraku uvijek je pohranjena toplinska energija, međutim u zimskim mjesecima zrak je hladniji nego u ljetnim mjesecima. Da bi se moglo koristiti energiju pohranjenu u zraku za grijanje potrebno je podići temperaturu zraka. Princip je relativno jednostavan, dakle dizalica topline prikuplja toplinu iz zraka i tako je koristi za grijanje. Sustav dizalice topline čine tri kruga, prvi krug omogućuje prikupljanje topline iz okoliša, drugi krug, podiže temperaturu dok treći krug se sastoji od korištenja topline u kući.

Kod prvog kruga dizalice topline, toplina zraka se dovodi do sustava cijevi u kojima se nalazi tekućina zaštićena od smrzavanja. Tekućina zaštićena od smrzavanja uvijek je na nižoj temperaturi od temperature zraka okoliša. Zbog toga tekućina može preuzeti toplinu iz zraka čak i na temperaturama okolnog zraka koje prelaze u minus. Dobivena toplinska energija prenosi se u drugi krug sustava dizalice topline.

Drugi krug je krug podizanja temperature. U drugom krugu cirkulira rashladni medij, koji ima tendenciju isparavanja već pri vrlo niskim temperaturama. Rashladni medij preuzima

toplinsku energiju. Toplinska energija se u prvoj fazi rasplavlja u vodi, a zatim se topolina prenosi u rashladni medij. Rashladni medij prenosi svoju topolinu na sebe i ponovo postaje tekući. Rashladni medij je pod visokim tlakom te je na previsokoj temperaturi da bi ponovo preuzeo topolinu iz okoliša. U ovom koraku ulogu posao preuzima termo-ekspanzijski ventil koji naglo smanjuje tlak pa temperatura rashladnog medija naglo pada. Ovaj postupak može se usporediti kod boce pod tlakom punjenom sa bojom ukoliko se ona dugo koristi bočica će se značajno ohladiti. Rashladni medij ponovo postiže temperaturu nižu od okolišne i cijeli krug se ponavlja.

Treći krug, dobivenom toplinskom energijom moguće je grijati, pripremati PTV za kupanje i tuširanje.

Zrak koji koriste toplinske pumpe kao izvor topline dijeli se na dvije skupine a to su: **vanjski zrak i otpadni zrak**. Prvo će biti opisane dizalice topline koje koriste vanjski zrak, prema izvoru („EKO – PLUS“, bez dat.).

- Dizalice topline koristeći VANJSKI ZRAK: vanjski zrak je uvijek dostupan, on je praktički neiscrpan i posve besplatan izvor topline, on se usisava kroz kanal nakon čega predaje svoju toplinu na isparivaču, ohladi se i predaje okolišu. U slučajevima kada vanjska temperatura zraka prelazi -20°C suvremene dizalice topline mogu proizvesti toplinu grijanja ali je potrebno električnim grijaćima predgrijati zrak pa treba imati na umu da s padom temperature vanjskog zraka značajno opada iskoristivost TP (Martinić, 2010). Kod ovakvih sustava potrebno je uzeti u obzir da cirkuliraju velike količine zraka od 3000 do 4000 m³/h što izaziva stvaranje buke u području vanjske jedinice TP.
- Dizalice topline koristeći OTPADNI ZRAK : najviše se upotrebljavaju kod pasivnih kuća gdje nema velike potrebe za toplinom, dizalice topline koriste se u kombinaciji sa sustavom koji ima kontroliranu ventilaciju stambenih prostora. TP koristiti otpadni zrak iz stambenog prostora koji se može iskoristiti za regeneraciju topline ventilacije te koristiti kod PTV ili dogrijavanja svježeg zraka

Kod dizalica topline osim što griju stambeni prostor mogu ga i rashlađivati. Kada se govori o rashlađivanju stambenog prostora tu postoje dvije vrste koje se dijele na pasivno i aktivno hlađenje. Na temelju preporuke struke preporučljivo je pasivno hlađenje koristiti kod površinskih sustava distribuiranja rashladne energije kao što su zidovi, podovi i stropovi dok aktivno hlađenje omogućuje primjenu ventilokonvektorskih jedinica. Aktivan i pasivan sustav

rade na principu odvođenja topline iz unutrašnjeg prostora u okoliš. U nastavku je pojašnjen princip pasivnog i aktivnog hlađenja.

Pasivno hlađenje se izvodi ako temperatura stambene prostorije u ljetnim mjesecima prelazi temperaturu izvora energije pa dizalica topline može raditi na principu prirodnog hlađenja. Fraza pasivno hlađenje potječe zbog toga što se hlađenje odvija bez rada kompresora, kroz površinskih sustava distribuiranja rashladne energije kao što su zidovi, podovi i stropovi provodi se medij voda koji je na sebe preuzeo rashladnu energiju zemlje i čija je temperatura znatno niža od temperature zraka u prostoriji.

Kod aktivnog hlađenja niže su temperature nosioca rashladne energije tj. vode, što se manifestira radom kompresora. Kod aktivnog hlađenja uz mogućnost primjene površinskih sustava distribucije rashladne energije koristi se i ventilokonvektorsko hlađenje (Dizalice topline, 2020).

Zbog principa rada pasivno hlađenje štedi potrošnju električne energije potrebnu za rad kompresora te se samo koristi električna energija za rad cirkulacijske crpke. Unatoč malo potrošnji električne energije pasivno hlađenje ima veliki nedostatak jer se krajem ljeta u zemlji pohrani velika količina topline uslijed čega učinkovitost pasivnih sustava naglo pada. Zbog toga aktivno hlađenje je puno učinkovitije.

2.2 Prednosti i nedostaci

Kao i svaki tehnički sustav i dizalice topline imaju svoje prednosti osim što koriste neiscrpnu energiju iz zemlje, podzemnih voda ili zraka tako imaju i nedostatke u vidu korištenja a sve je preglednije prikazano u tablici 1.

Tablica 1. Prednosti i nedostaci dizalice topline

PREDNOSTI	NEDOSTACI
Neovisnost o energentima, korištenje prirodnih neiscrpnih izvora energije(zrak, voda, tlo)	Veća početna ulaganja u odnosu na druge sisteme
Nema štetnih emisija za vrijeme rada sistema	Varijacije okolišne temperature zraka
Učinkovitost 75% energije dolazi iz okoliša, samo 25 posto treba dodati u obliku električne struje	Primjena na zgradama sa dobrom toplinskom izolacijom
Mogućnost hlađenja tijekom ljetnih mjeseci	
Jednostavna tehnologija	Potreban niskotemperaturni režim grijanja, potrebne preinake u slučaju prelaska s visokotemperaturno režima
Niski troškovi održavanja	
Dugi vijek trajanja	

Izvor: Vlastiti

3. Sunčevi kolektori

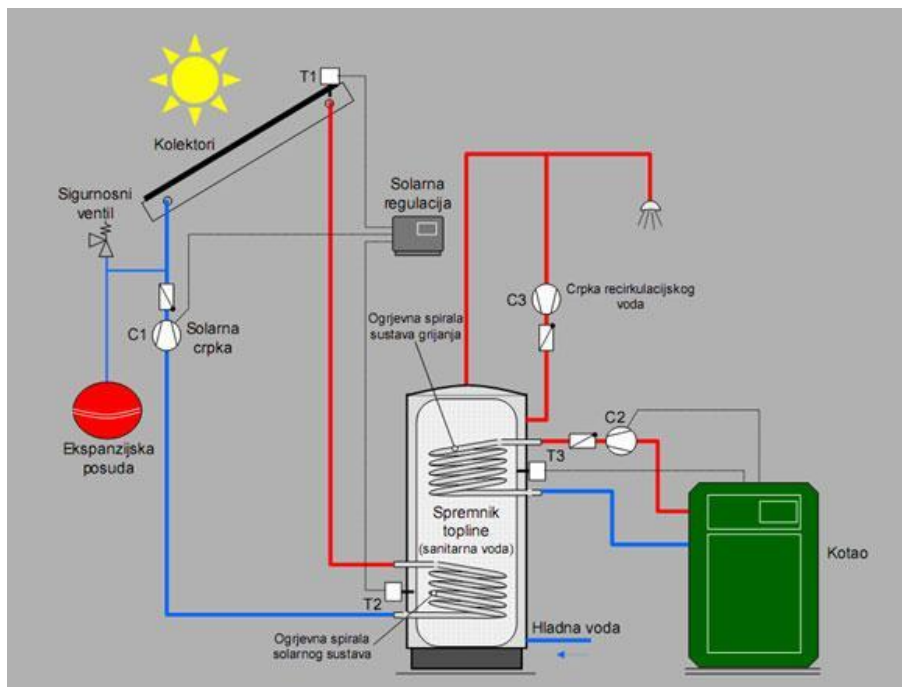
Solarna energija dostupna je na zemlji od pamтивjeka a potencijal koji ima tek se u velikoj mjeri za grijanje i proizvodnju električne energije iskorištava u posljednjih 15-ak godina. S godinama tehnologija u području solarne energije sve više napreduje s ciljem kako bih se iskoristio maksimalni moguć potencijal takve energije. Za iskorištenje solarne energije upotrebljavaju se solarni kolektori koji se prema izvoru (Solarni kolektori, 2020) dijele ne fotonaponske i toplinske. Važno je ne pomiješati ova dva pojma jer fotonaponski kolektori služe za proizvodnju električne energije dok toplinski služe za grijanje i pripremu PTV.

Sunčevi kolektori najviše se koriste u svrhu pripreme potrošne tople vode, za dogrijavanje ogrjevne vode sustava grijanja, kod zagrijavanja bazena te klimatizaciju prostora (absorpcijsko hlađenje). Sunčevi kolektori se sastoje od šest **osnovnih elemenata** od kojih je najvažniji solarni kolektor te bivalentni spremnik topline koji iznose čak 60% investicije. Od ostalih dijelova ovoga sustava za normalno funkcioniranje veliku ulogu imaju solarna regulacija, ekspanzijska posuda, solarni medij i ostalo. U nastavku poglavljia biće opisani i pojašnjeni svi nabrojeni dijelovi sustava.

Sunčev zračenje na zemlju dolazi u području valnih duljina od $0,3 \text{ } \mu\text{m}$ pa do $2,5 \text{ } \mu\text{m}$ a maksimalni intenzitet postiže u vidljivom području $\lambda = 0,48 \text{ } \mu\text{m}$. Kada sunčev zračenje dolazi na zemlju predmeti to zračenje apsorbiraju i remitiraju ga u infracrvenom području s valnim duljinama od $2 \text{ } \mu\text{m}$ do $30 \text{ } \mu\text{m}$. Kako se spektar sunca i spektar kolektora preklapa u vrlo uskom području valnih duljina dolazi do dobivanja selektivnih apsorbera. Svojstva apsorbera jako utječu na učinkovitost kolektora. Najbolji slučaj bio bih kada bi selektivni apsorber u potpunosti apsorbirao sunčev zračenje a minimalno emitirao toplinsko zračenje tj. infracrveno (IR). Velika većina metala korištena za apsorbere je slabe spektralne selektivnosti. Prevlačenjem tankih filmova različitih vrsta i debljina ili poluvodičkih slojeva na površinu metala, može se povećati apsorcijski faktor u području sunčeva spektra a smanjiti faktor emisije u infracrvenom spektru područja. Najbolje za postizanje selektivnog sloja je koristiti sloj crnog kroma ili crnog nikla. Danas se kod izrade pločastih kolektora koristi viskoapsorcijski TINOX sloj koji upija gotovo 95% sunčeva zračenja. Vrlo je bitno napomenuti da vrsta apsorbera ima veliki značaj kod korisnosti sunčevih kolektora (Dujak, 2012).

3.1 Princip rada sustava sa sunčevim kolektorima

Da bi se lakše pojasnio princip rada solarnog sustava (SS), može ga se usporediti sa tamnim vrtnim crijevom koje se podvrgava sunčevom zračenju. Kada je vrtno crijevo izloženo sunčevom zračenju ono apsorbira sunčevu svjetlost i zagrijava vodu koja se nalazi unutar samog crijeva. Vrlo je sličan i princip rada SS koji se može pojasniti kroz četiri koraka prema izvoru (Solarna energija, 2020), a prikazan je na slici 5.



Slika 5. Shema sustava sa solarnim kolektorom (Primjena solarnih kolektora u kućanstvu, bez dat.)

- 1) Prvi i najvažniji dio sustava sa solarnim kolektorom upravo je solarni kolektor koji može biti pločasti i vakumski a detaljnije su opisani u poglavљу 3.2. Dakle, sunčev zračenje upada pod određenim kutom na solarni kolektor koji apsorbira sunčevu svjetlost putem apsorbera. Unutar kolektora nalazi se posebna vrsta fluida koja cirkulira cijevima kolektora te se fluid zagrijava
- 2) Drugi dio koji je vrlo bitan za funkciranje opreme jest cirkulacijska crpka koja tjeru fluid prema donjem izmjenjivaču topline solarnog spremnika tople vode
- 3) U toplinskem spremniku za pripremu PTV na vodu se indirektno prenosi toplina preko izmjenjivača topline
- 4) Prilikom funkciranja ovog sustava sa solarnim kolektorom ako sunčev zračenje nije dovoljno da bi se zagrijala potrošna topla voda prema shemi na slici 5. uključuje

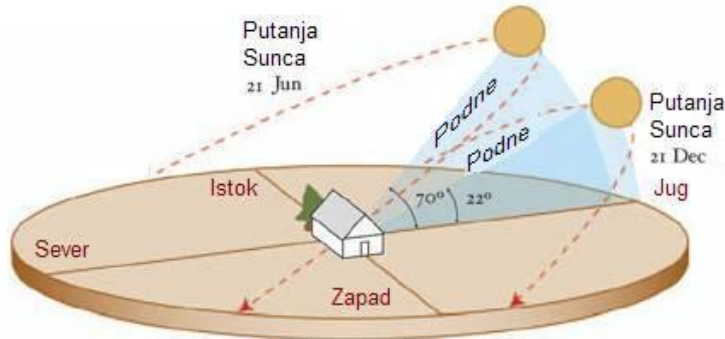
se dogrijavanje konvencionalnim sustavom grijanja ili DT preko gornjeg izmenjivača topline u spremniku tople sanitарne vode

Čitavim krugom sustava pripreme PTV upravlja solarna regulacija koja uspoređuje temperaturu T1 kolektora i T2 ogrjevnog spremnika i na temelju tih rezultata, odnosno kada je temperatura medija u solarnim kolektorima veća od temperature u spremniku uključuje cirkulacijsku crpu. U slučaju ako je temperatura spremnika veća od temperature medija u koletorima solarna regulacija isključuje cirkulacijsku crpu sve do trenutka kada se temperatura medija kolektora ponovo ne podigne $T1 > T2$ (Solarno grijanje, bez dat.).

Sustavi sa solarnom energijom vrlo su korisni, osim što se priprema potrošna topla voda njima se može i grijati stambeni objekt. Ovakvim načinom implementacije sustava postižu se značajne uštede. Zbog nižih temperatura polaznog voda grijanja u kombinaciji sa SS idealni su niskotemperaturni sustavi grijanja kao što su podno ili ventilokonvektorsko grijanje. Kad se primjenjuje SS kod grijanja vrlo je bitno implementirati u sustav međuspremnik ogrjevne vode većeg korisnog sadržaja da bi se tehnološka voda međuspremnika zagrijavala putem solarnih termalnih kolektora. U sustav niskotemperaturnog grijanja moguće je distribuirat takvu zagrijanu vodu a u periodima kada količina zračenja sunca nije dovoljna za rad sunčevih kolektora, potrebno je osigurati dogrijavanje da bi se osigurala zadana temperatura polaznog voda grijanja.

Solarni sistemi mogu biti otvorenog tipa ili zatvorenog tipa. Kada se govori o otvorenom tipu ovdje kroz postavljeni kolektor na krov direktno prolazi medij (voda,glikol). Sustavi zatvorenog tipa punjeni su fluidom otpornim na smrzavanje kao što je antifriz, mogu se koristiti i kod temperatura vanjskog zraka manjih od nule.

Da bi opisani sustavi funkcionirali solarni kolektori se postavljaju prema određenom pravilu i iskustvu struke. Krov na koji se postavljaju solarni kolektori mora biti orijentiran prema jugu, nije nužno da orijentacija bude čisto jug može biti i jugoistok i jugozapad što vrijedi i za ravne krovove. Maksimalna iskoristivost sunčevog zračenja može se dobiti ako je nagib kolektora jednak kutu zemljopisne širine što za Hrvatsku iznosi između 40° i 45° ova mjera kuta vrijedi u ljetnim mjesecima a u zimskim mjesecima nagib kolektora u odnosu na horizontalu trebao bi biti između 50° i 60° (Pločasti solarni kolektori, bez dat.). Na slici 6. prikazan je upadni kut i putanja sunca na južnoj strani svijeta za period ljeta i period zime.



Slika 6. Upadni kut sunca kroz godinu (Solarni kolektori , bez dat.)

3.2 Elementi sustava sa sunčevim kolektorima

Kao što je prethodno navedeno sustav sa sunčanim kolektorima ne može raditi bez šest skupina osnovnih elemenata a tu spadaju: sunčevi kolektori, bivalentni spremnik topline, solarna regulacija, ekspanzijska posuda, solarni medij i ostalo. U nastavku detaljnije su opisani pojedini elementi sustava.

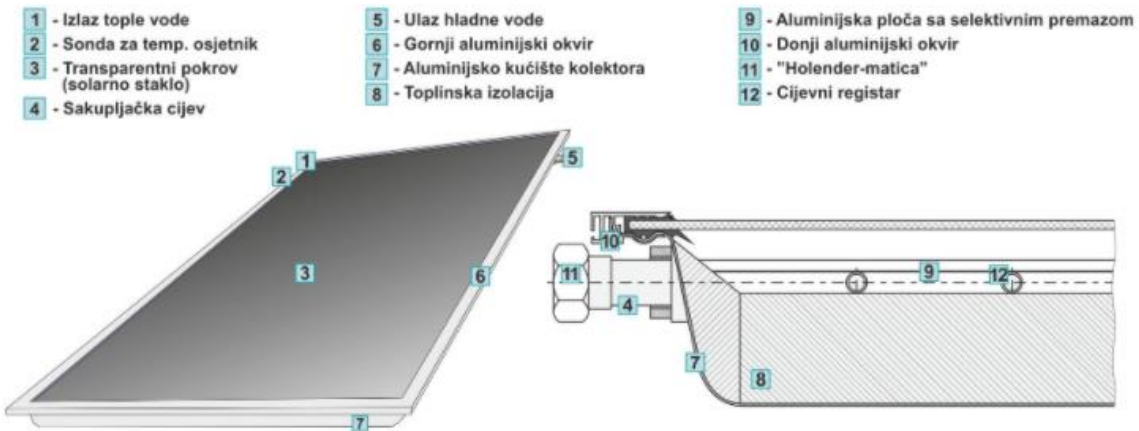
3.2.1 Sunčevi kolektori

Sunčevi kolektori su dijelovi solarnog postrojenja koji energiju sunca pretvaraju u toplinsku energiju, vode ili pak neke druge tekućine koja se nalazi unutar kolektora. Prema tehnologiji izrade solarne kolektore dijelimo na: pločaste i vakuumske odnosno cijevne.

a) Pločasti (ravni) solarni kolektori

Glavna odlika ovog tipa kolektora je ta da imaju visok koeficijent apsorpcije sunčevog zračenja a taj efekt se postiže zahvaljujući visokokvalitetnom selektivnom apsorberu. Zbog TINOX premaza na kolektoru se omogućuje viša razina apsorpcije. Prema tome ovaj tip kolektora odlikuje se visokim stupnjem iskoristivosti. Ispod površine apsorbera nalazi se bakrena savijena cijev kojom cirkulira fluid. Apsorber apsorbira toplinsku energiju te se ona kao takva prenosi na fluid u cijevi. Kod ovog tipa kolektora kao izolacijski materijal koristi se poliuretanska pjena ali i kamena vuna. Ugrađivanje pločastih kolektora moguće je na ravne krovove sa podkonstrukcijom ili kose krovove također kod ugradnje poželjno je koristiti nosače. U kolektoru za vrijeme kada sustav miruje mogu se javiti relativno visoke temperature

čak do 150 °C. Na sljedećoj slici prikazan je pločasti ravni solarni kolektor tvrtke „Centrometal“ sa svojim dijelovima.

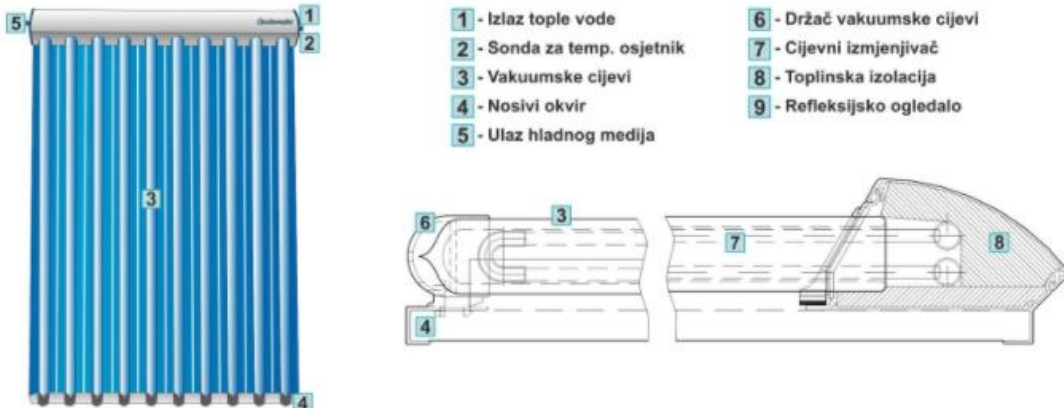


Slika 7. Pločasti kolektor sa svojim dijelovima (Centrometal, bez dat.)

Pločasti ravni kolektor odlikuje se time što mu je niska nabavna cijena, niski su troškovi održavanja i idealni su za niskotemperaturne sustave za pripremu potrošne tople vode i kao potpora kod grijanja stambenog objekta.

b) Vakuumski (cijevni) solarni kolektori

Princip rada vakuumskih cijevnih solarnih kolektora ne razlikuje se pločastih jedina je razlika u načinu izvedbe. Cijevi kolektora su vakumirane u koje su smješteni apsorberi. Vakuumski kolektori sastavljeni su od više staklenih paralelnih cijevi. U svakoj cijevi nalazi se jedna manja cijev kojom protječe voda ili glikol prema sabirniku a nakraju prema spremniku PTV (Solarno grijanje, bez dat.). Kako je u staklenim cijevima oko manje cijevi kojom protječe medij vakuum to za posljedicu ima smanjenje gubitka topline. Dodatna učinkovitost ovih kolektora postiže se postavljanjem ispod svake staklene cijevi zrcala koje reflektira sunčeve zračenje prema apsorberskoj cijevi. U mirovanju temperature se u kolektoru mogu popeti do 200 °C kod sustava koji su dobro dimenzionirani u pogonu solarne crpke temperatura kolektora je svega do 20 °C veća od temperature u spremniku. U nastavku je prikazana slika cijevnog solarnog kolektora tvrtke „Centrometal“ sa svim dijelovima.

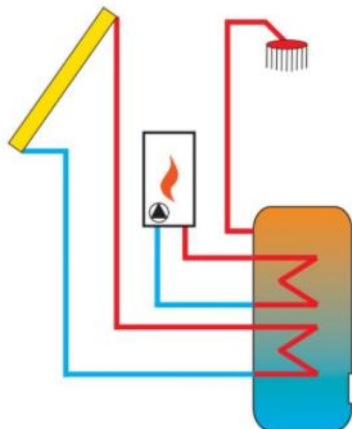


Slika 8. Vakumski cijevni kolektor (Centrometal, bez dat.)

Prednosti cijevnog u odnosu na pločasti kolektor su te da se: može koristiti na krovovima koji nisu direktno usmjeren prema jugu jer se zakretanjem solarne cijevi može postići povoljan kut, zbog montaže reflektirajuće zrcala zahtjeva manje krovne površine za učinak jednak pločastim kolektorima, veća je energetska učinkovitost i imaju veću iskoristivost sunčevog zračenja po kvadratnom metru od pločastih kolektora za cca. 30% (Solarno grijanje, bez dat.).

3.2.2 Bivalentni spremnik topline

Standardni akumulacijski spremnik PTV ima jednu ogrjevnu spiralu koja zagrijava potrošnu vodu, a kao što smo ime govorili bivalentni spremnik PTV sastoji se od dvije spirale. Bivalentni spremnik služi kako bi se u njemu akumulirala toplina nastala sunčevim zračenjem u sustavu s sunčevim kolektorima. Bivalentni spremnik podijeljen je na dva dijela. U donjem dijelu ogrjevna spirala je povezana sa cjevovodom kolektora, te se donji dio spremnika grijije isključivo na toplinu generiranu sunčevim zračenjem. Gornja ogrjevna spirala služi za dogrijavanje PTV, bilo kotлом ili dizalicom topline, ukoliko tijekom zimskih mjeseci nema dovoljno sunčeva zračenja. U ovom slučaju donji dio spremnika ostaje hladan. Gornji dio spremnika mora biti tako dimenzioniran da može pokriti zahtjeve za PTV ukoliko donja ogrjevna spirala u potpunosti ne obnaša funkciju grijanja PTV. U ljetnim mjesecima kada je izloženost sunčevom zračenju velika na spremniku se uspoređuju temperature na donjem dijelu i gornjem ukoliko je temperatura donjeg spremnika puno veća od temperature gornjeg spremnika kotao ostaje u mirovanju i ne pomaže u dogrijavanju vode.



Slika 9. Shema bivalentnog spremnika topline (Žepoh, bez dat.)

3.2.3 Solarni regulator

Solarni regulator u sistemu sa sunčevim pločastim kolektorima ima funkciju uključivati solarnu crpku ako je trenutna temperatura kolektora viša od trenutne temperature spremnika uz uvijet da nije postignuta maksimalan zadana temperatura spremnika.

3.2.4 Ekspanzijska posuda

Svaki solarni sustav ima optočni medij koji se uslijed zagrijavanja širi, prema tome u sustavu je potrebno osigurati ekspanzijsku posudu koja akumulira dodatni volumen nastao temperturnim širenjem medija.

3.2.5 Solarni medij

Kao solarni medij upotrebljava se mješavina glikola i vode zbog svojstva da se pri nižim temperaturama ne može smrznuti. Također ovaj medij sadrži posebne dodatke koji poboljšavaju rad na visokim temperaturama. Mješavinu glikola i vode potrebno je mijenjati svakih dvije do četiri godine ovisno o kvaliteti rada solarnog sustava

3.2.6 Ostalo

Pod ostalim komponentama sustava sa sunčevim kolektorima podrazumijevamo sve elemente kako bi sustav nesmetano i pouzdano radio a tu spadaju: cjevovod (polazni i povratni) solarnog sustava (izveden od bakrenih cijevi) te izolacija istih, sigurnosni, zaporni i nepovratni ventili, solarna pumpa i temperturni osjetnici

4. Praktični dio

4.1. Meteorološki podaci

Za potrebe proračunavanja potrebno je uzeti odgovarajuće meteorološke podatke za mjesto na kojem se nalazi odabrana građevina tj. za grad Varaždin. Podaci su prikazani u četiri tablice prve tri se odnose na vrijednosti temperature na odabranom području dok je zadnja tablica prikaz globalnog sunčevog zračenja po m^2 površine ovi prikazani podaci dobiveni su na temelju mjerenja od 1991-2010 godine.

Tablica 2. Prosječne dnevne vrijednosti po mjesecima za grad Varaždin

	1.	2.	3.	4.	5.	6.	7.	8.	9.	10.	11.	12.	GOD
$\theta_{mm} [^{\circ}\text{C}]$	0.4	2.2	6.4	11.2	16.2	19.6	21.2	20.5	15.5	10.7	6	0.8	10.9
$\theta_{msd} [^{\circ}\text{C}]$	4.6	5	4.3	3.7	3.6	3.7	3.1	3.2	3.2	4.4	4.7	4.6	8.4
$\theta_{min\ mm} [^{\circ}\text{C}]$	-14.9	-13.4	-10.5	0	5.6	9.4	13	10.9	6.5	-1.6	-7.2	-13.4	-14.9
$\theta_{max\ mm} [^{\circ}\text{C}]$	13.1	14.4	16.3	20	26.3	28.4	29	29.3	26.2	21.8	19.8	13.8	29.3
$\theta_{SWmm} [^{\circ}\text{C}]$	7.2	9.5	10.2	11.2	12	11.6	12	12.3	11	9.8	7.4	6.4	10.1
$R_{mm} [\text{mm}]$	1.1	1.2	1.7	2.1	2	2.9	3	2.8	3.3	2.6	2.4	1.9	2.3
$\varphi_{mm} [\%]$	83	75	71	69	68	69	70	73	79	81	84	86	76

Izvor: Narodne novine

Gdje su :

- $\theta_{mm} [^{\circ}\text{C}]$ - Srednja dnevna temperatura zraka, srednjak po mjesecima
- $\theta_{msd} [^{\circ}\text{C}]$ - Standardna devijacija srednje dnevne temperature zraka, po mjesecima
- $\theta_{min\ mm} [^{\circ}\text{C}]$ - Dnevna temperatura zraka, minimum po mjesecima
- $\theta_{max\ mm} [^{\circ}\text{C}]$ - Dnevna temperatura zraka, maksimum po mjesecima
- $\theta_{SWmm} [^{\circ}\text{C}]$ - Dnevna amplituda temperature zraka, srednjak po mjesecima
- $R_{mm} [\text{mm}]$ - Dnevna količina oborine, srednjak po mjesecima
- $\varphi_{mm} [\%]$ - Srednja relativna vlažnost, po mjesecima

U nastavku u tablici 3 prikazane su vrijednosti prema metodologiji iz HRN EN ISO 15927-5

Tablica 3. Projektne vrijednosti prema metodologiji iz HRN EN ISO 15927-5(Narodne novine, bez dat.)

N	20
$\theta_{2d}^* [^\circ\text{C}]$	-10.3
$\theta_{2d}^{**} [^\circ\text{C}]$	-11.6
$\theta_{0,4\%}^* [^\circ\text{C}]$	27.4
$\theta_w^* [^\circ\text{C}]$	20.7
$\theta_d^* [^\circ\text{C}]$	17.7
$\varphi_{p0.4}^* [^\circ\text{C}]$	100
$\varphi_{p99.6}^* [^\circ\text{C}]$	43

Izvor: Narodne novine

Gdje su :

- $\theta_{2d}^* [^\circ\text{C}]$ - Vanjska projektna temperatura zraka (grijanje) iz 2- dnevne srednje dnevne temperature zraka, 1-godišnji povratni period
- $\theta_{2d}^{**} [^\circ\text{C}]$ - Vanjska projektna temperatura zraka (grijanje) iz 2-dnevne srednje dnevne temperature zraka, 2-godišnji povratni period
- $\theta_{0,4\%}^* [^\circ\text{C}]$ - Vanjska projektna temperatura zraka (hlađenje) iz srednje dnevne temperature zraka
- $\theta_w^* [^\circ\text{C}]$ - Pripadajuća temperatura vlažnog termometra
- $\theta_d^* [^\circ\text{C}]$ - Pripadajuća temperatura rosišta
- $\varphi_{p0.4}^* [^\circ\text{C}]$ - Vanjska projektna relativna vlažnost, ljeto, premašena u 0,4% slučajeva
- $\varphi_{p99.6}^* [^\circ\text{C}]$ - Vanjska projektna relativna vlažnost, zima, premašena u 99,6% slučajeva
- N - Broj godina podataka

U sljedećoj tablici dane su vrijednosti prema Tehničkom propisu o racionalnoj uporabi energije i toplinskoj zaštiti u zgradama.

Tablica 4. Vrijednosti za projektiranje prema Tehničkom propisu za grad Varaždin

N	20
$\theta_{\min ym}[^{\circ}C]$	-14.9
$\theta_{\max ym}[^{\circ}C]$	29.3
$\theta_w^*[^{\circ}C]$	19.2
$\theta_d^*[^{\circ}C]$	14.5
$\theta_{Swym}[^{\circ}C]$	12.5

Izvor: Narodne novine

Gdje su:

- $\theta_{\min ym}[^{\circ}C]$ - Temperatura za projektiranje grijanja
- $\theta_{\max ym}[^{\circ}C]$ - Temperatura za projektiranje hlađenja
- $\theta_w^*[^{\circ}C]$ - Pripadajuća temperatura vlažnog termometra za projektiranje hlađenja
- $\theta_d^*[^{\circ}C]$ - Pripadajuća temperatura rosišta za projektiranje hlađenja
- $\theta_{Swym}[^{\circ}C]$ - Pripadajuća dnevna amplituda zraka za projektiranje hlađenja

Tablica 5. Globalno sunčeve zračenja na području grada Varaždina kroz godinu po mjesecima

$H_{s,g,ic}$		Globalno sunčeve zračenje [MJ/m^2]										
Nagib [°]	mj.	orientacija					mj.	orientacija				
		S	SE,SW	E,W	NE,NW	N		S	SE,SW	E,W	NE,NW	N
0	1	123	123	123	123	123	2	188	188	188	188	188
		156	145	123	100	85		227	215	188	157	140
		181	162	123	85	75		257	243	186	134	102
		198	171	120	71	71		274	243	182	115	96
		205	172	114	65	65		277	241	173	91	89
		202	166	105	59	59		266	227	159	81	81
		188	151	94	52	52		242	204	141	72	72
		0	342	342	342	342		464	464	464	464	464
15	3	384	372	340	303	284	4	489	483	461	432	418
		410	389	335	264	215		493	486	449	389	352
		415	390	323	233	166		475	471	429	347	273
		401	375	304	200	152		436	440	400	308	202
		369	344	277	151	139		379	392	362	258	181
		319	301	244	124	124		308	334	316	183	163
		0	578	578	578	578		614	614	614	614	614
		15	582	582	572	556		607	609	606	598	587
30	5	565	569	554	514	481	6	579	588	585	558	525
		525	537	525	462	398		530	550	553	504	439
		465	489	485	412	302		462	495	509	448	338
		389	427	434	361	228		381	427	455	395	236
		305	356	376	280	205		293	352	393	316	213
		0	637	637	637	637		551	551	551	551	551
		15	636	637	630	617		571	566	546	519	504
		30	612	619	609	572		567	564	532	471	432
45	7	563	582	577	514	441	8	538	542	507	420	341
		494	527	533	457	332		487	501	471	373	244
		409	457	477	402	236		416	444	425	320	205
		315	378	413	315	214		331	374	370	233	186
		0	419	419	419	419		266	266	266	266	266
		15	467	454	417	373		319	303	266	224	200
		30	492	472	411	325		357	329	264	189	137
		45	493	471	397	284		378	339	258	164	123
60	9	470	450	374	249	159	10	379	334	245	127	115
		424	411	341	187	147		360	314	225	105	105
		358	356	301	135	134		324	280	200	94	94
		0	134	134	134	134		95	95	95	95	95
		15	167	157	134	110		120	112	95	78	67
		30	193	173	134	94		139	124	95	67	63
		45	209	182	131	78		152	131	92	59	59
		60	215	182	124	70		157	132	88	54	54
75	11	210	174	114	63	63	12	155	127	81	48	48
		195	158	102	56	56		145	116	72	42	42
		0	4410	4410	4410	4410						
		15	4726	4635	4377	4067						
		30	4845	4709	4276	3663						
		45	4750	4610	4093	3250						
		60	4448	4338	3819	2855						
		75	3958	3910	3456	2428						
	GOD	90	3321	3359	3022	1920						

Izvor: Narodne novine

Tablica iznad prikazuje globalno sunčeve zračenje u MJ po m^2 u ovisnosti o godišnjem dobu i nagibu. Iz tablice je vidljivo da se najveće sunčeve zračenje dobije za kut nagiba između 30 i 50° te orijentaciju prema jugu, jugo-istoku odnosno jugozapadu te je kod proračuna i instalacije solarne kolektore postaviti upravo prema toj orijentaciji za što bolji radni učinak.

4.2. Odabir dizalice topline

Prema podacima danim u tekstu zadatka diplomskog rada za potrebnu maksimalnu toplinsku snagu 25kW i snagu za hlađenje 18 kW uz faktor sigurnosti 1,2 odabire se dizalica topline proizvođača Hitachi model Yutaki 10. Dizalica topline prema načinu funkcioniranja spada u skupinu dizalica topline zrak/voda. Model Yutaki 10 sastoji se od unutarnje i vanjske jedinice oznaka unutarnje je RWM-10.ONE a vanjske RAS-10WHNPE. U nastavku su prikazane slike vanjske i unutarnje jedinice te dana je tablica tehničkih karakteristika vanjske i unutarnje jedinice.

Yutaki S je tip dizalice topline koji može grijati, hladiti i pripremati toplu vodu.

		Mjerna jedinica	Yutaki S10
Kapacitet	Grijanje(Min/Nom/Max)	kW	10,00/24,00/32,00
	Hlađenje(Nom/Max)	kW	17,50/20,60
Potrošnja	Grijanje (Nom)	kW	5,59
	Hlađenje(Nom)	kW	6,22
Izvor energije			3N ~400V 50Hz
COP(Voda 35°C, okolina 7°C)	Nominalno		4,29
EER(Voda 7°C, okolina 35°C)	Nominalno		2,81
Energetski razred na 35°C			A+
Sezonska efikasnost na 35°C, SCOP/ηs			3,6/142
Energetski razred na 55°C			A+
Sezonska efikasnost na 55°C, SCOP/ηs			2,98/118
ESEER			3,32
SEER/ηs	Jednofazno		4,06/159
	Trofazno		
Vanjska radna temperatura	Grijanje	°C	-25 do 25
	Topla voda	°C	-25 do 35
	Hlađenje	°C	10 do 46
Temperatura vode	Grijanje	°C	20 do 60
	Topla voda	°C	30 do 75
	Hlađenje	°C	5 do 22
Promjer cijevi krug rashladnog sredstva		inch	1/2-1
Promjer cijevi kruga vode		inch	1-1/4 -1-1/4

Izvor: Hitachi katalog



Slika 10. Vanjska i unutarnja jedinica dizalice topline Yutaki S10(4REF, bez dat.)

Tablica 6. Tehničke karakteristike unutarnje jedinice dizalice topline

Unutarnja jedinica	Mjerna jedinica	RMW-10.oNE
Minimalni volumen vode u sustavu	l	79
Protok vode (Min-Nom-Max)	m³/h	2,20 - 4,13 - 4,60
Buka	dB(A)	47
Dimenzije(Visina (sa priključcima) x širina x dužina)	mm	890(960) x 670 x 360
Težina	kg	62
Maksimalna struja Trofazna	A	29,2

Izvor: Hitachi katalog

Tablica 7. Tehničke karakteristike vanjske jedinice dizalice topline

Vanjska jedinica	Mjerna jedinica	RAS-10WHNPE
Protok zraka	m³/h	8,040
Buka kompresora	dB(A)	60
Buka EM	dB(A)	4
Minimalna dužina cijevi	m	5
Maksimalna dužina cijevi	m	70
Maksimalna razlika visine (Najviša OU/najmanja OU)	m	30/20
Kompresor		Scroll DC Inverterski
Radni medij		R410A
Punjeno radnog medija(dužina bez dodatnog punjenja)	kg(m)	5,3(15)
Dodatno punjenje radnog medija	g/m	65
Dimenzije(Visina x širina x dužina)	mm	1,380 x 950 x 370
Težina	kg	139
Maksimalna struja Trofazna	A	24

Izvor: Hitachi katalog

4.3. Odabir sunčevih kolektora

Sunčevi, solarni kolektori kod postavljanja orijentiraju se prema jugu a kut nagiba najpovoljnije je da bude između 30° i 50° . Potrebno je proračunati broj sunčevih kolektora na temelju odabranog tipa solarnog pločastog kolektora. Odabrani solarni kolektor je tip CPK 7210N Alu. Kolektori se mogu montirati na kosi krov ili na ravni krov pod određenim kutom pogodnim za područje instalacije. Nagib se prilagođava pomoću montažnog seta. U seriju se maksimalno spaja 6 kolektora a za veće kolektorske sustave spajanje se vrši paralelno više serija po 6 kolektora. Kolektor ima dva priključka na gornjoj strani što olakšava montažu i povećava učinkovitost kolektora produžujući put fluida kroz kolektor.

Tablica 8. Tehničke karakteristike pločastog sunčevog kolektora tvrtke „Centrometal“

Pločasti kolektor CPK 7210N Alu		
Bruto površina	m^2	2,1
Površina upada svjetlosti	m^2	1,8
Površina apsorbera	m^2	1,8
Materijal apsorbera		Al lim sa selektivnim slojem
Apsorcijski koeficijent	%	95
Emisijski koeficijent	%	5
Optički stupanj djelovanja	%	77,9
Koef. gubitaka topline k1	$\text{W}/(\text{m}^2\text{K})$	3,914
Koef. gubitaka topline k2	$\text{W}/(\text{m}^2\text{K})$	0,012
Cijevni registri	mm	$\phi 8 \times 0,4$
Sakupljačke cijevi	mm	$\phi 22 \times 0,8$
Volumen apsorbera	l	1,4
Transparentni pokrov		3,2 mm kaljeno staklo
Transmisija	%	90
Broj priključaka		2
Priklučci	R	1"
Max. radni pretlak	bar	10
Temperatura mirovanja	$^{\circ}\text{C}$	199
Izolacija		40 mm kamena vuna
Visina kolektora	mm	2032
Širina kolektora	mm	1031
Debljina kolektora	mm	94
Masa kolektora	kg	32
Medij u sustavu		Mješavina glikola i vode

Izvor: „Centrometal“

5. Proračun ekonomičnosti termo-tehničkog sustava i učestalost rada pojedinih uređaja tijekom cjelogodišnjeg korištenja

Proračun učestalosti rada pojedinih uređaja tijekom cjelogodišnjeg korištenja kreće od uvjeta koji je definiran zadatkom diplomskog rada. Termo-tehnički sustav se sastoji od grijanja i hlađenja građevine. Grijanje se odvija u periodima kada je potrebno podići unutrašnju temperaturu zraka ugodnu čovjeku za život tj. kada ona pada ispod 22°C . Glavni uvjet za grijanje jest da je potrebno:

$$Q_{Gmax} = 25 \text{ kW} \quad (1)$$

toplinske snage za grijanje prostora pri projektnim parametrima za područje grada Varaždina, gdje vanjska projektna temperatura za grijanje iznosi:

$$\vartheta_{vZ} = -14,9^{\circ}\text{C} \quad (2)$$

a unutarnja projektna temperatura za grijanje iznosi:

$$\vartheta_{pZ} = +22^{\circ}\text{C} \quad (3)$$

Nadalje, hlađenje se odvija u ljetnim mjesecima kada se temperatura zraka podigne iznad temperature koja je čovjeku ugodna za boravak u prostoru i ona prelazi 26°C . Iz zadatka proizlazi da je za hlađenje potrebno:

$$Q_{HLmax} = 18 \text{ kW} \quad (4)$$

rashladne snage za projektnu vanjsku temperaturu iznosa:

$$\vartheta_{vLJ} = +29,3^{\circ}\text{C} \quad (5)$$

i unutarnju projektnu temperaturu iznosa:

$$\vartheta_{pLJ} = +26^\circ\text{C} \quad (6)$$

Grijanje je određeno maksimalnim parametrima temperature vode, temperatura polaznog voda i povratnog vod iznosi:

$$\vartheta_{wp}/\vartheta_{wpov} = 55/45^\circ\text{C} \quad (7)$$

Hlađenje je određenom maksimalnim parametrima temperature vode, temperatura polaznog voda i povratnog voda iznosi:

$$\vartheta_{wHp}/\vartheta_{wHfov} = 7/12^\circ\text{C} \quad (8)$$

Dakako ove vrijednosti režima rada pod oznakom (7) i (8) ujedno su i maksimalne vrijednosti temperature vode, da bi ostvarili za grijanje i hlađenje potrebne uvijete.

5.1. Definiranje sezone grijanja/ hlađenja za potrebe proračuna

Na početku potrebno je definirati sezonu grijanja i hlađenja, sezona grijanja je period kada je potrebno dovoditi toplinu u stambeni prostor kako bih se on zagrijao na temperaturu ugodnu čovjeku za boravak. U tom periodu temperatura vanjskog zraka je u većini slučajeva znatno niža od temperature ugodne čovjeku za boravak te je potrebno podići temperaturu u prostoru na propisanu vrijednost. Sezona hlađenja je vremenski period gdje se temperatura zraka penje iznad projektne unutarnje temperature. To je period koji se poistovjećuje sa kalendarskim periodom ljeta. Stoga je potrebno definirati koji vremenski period definira sezonu grijanja a koji sezonu hlađenja. U postupak razmatranja uzet će se podaci za kalendarsku godinu 2015/16.

Za sezonu grijanja uzima se period od 1.10.2015. pa do 15.04.2016. U sljedećoj tablici prikazani su broj dana sezone grijanja za pojedini mjesec listopad, studeni, prosinac, siječanj, veljaču ožujak i travanj.

Tablica 9. Broj dana mjeseca u sezoni grijanja

Mjesec	Broj dana
Listopad	31
Studeni	30
Prosinac	31
Siječanj	31
Veljača	28
Ožujak	31
Travanj	15

Izvor: vlastiti

Zbrajanjem pojedinih dana mjeseca dolazi se do brojke od ukupno 197 dana u periodu grijanja.

$$t_{gr} = 31+30+31+31+28+31+15 = 197 \text{ dana} \quad (9)$$

Kod sezone hlađenje razmatrat će se period od 15.06.2015. do 15.09.2016. Ovaj period obuhvaća puna tri mjeseca polovicu lipnja, srpanj, kolovoz i polovicu rujna. Niže je dana tablica mjeseca i broja dana za promatrani period hlađenja.

Tablica 10. Broj dana mjeseca u sezoni hlađenja

Mjesec	Broj dana
Lipanj	16
Srpanj	31
Kolovoz	31
Rujan	15

Izvor: vlastiti

Zbrajanjem pojedinih dana mjeseca dolazi se do brojke od ukupno 93 dana u periodu hlađenja.

$$t_{hl} = 16+31+31+15 = 93 \text{ dana} \quad (10)$$

Među period između sezone grijanja i hlađenja je takav da je temperatura relativno ugodna i nije potrebno grijati odnosno hladiti prostor boravka. Zbog velikog broja dana kod perioda grijanja 197 dana i perioda hlađenja 93 dana radi jednostavnijeg prikaza rezultata biti će u nastavku izračunata prosječna dnevna vrijednost temperature. Prosječna dnevna vrijednost temperature se neće uzeti za svaki pojedini dan tijekom perioda grijanja odnosno hlađenja nego će se uzeti srednja vrijednost zbroja tri uzastopna dana te tako za svaki pojedini mjesec. Rezultati srednje trodnevne temperature prikazani su tablično i grafički u sljedećem poglavlju.

5.2. Izračun prosječnih temperatura na trodnevnoj bazi za period grijanja i period hlađenja

U ovome potpoglavlju prikazane su srednje temperature za područje grada Varaždina. Do srednjih temperatura za period grijanja i hlađenja došlo se iz baze podataka na web stranici „Hrvatska agencija za okoliš i prirodu“. Uzete su vrijednosti za period od 01.10.2015. godine do 01.10.2016. godine. Zbog vrlo velikog opsega podatka (dnevne satne vrijednosti) izračunava se najprije prosječna temperatura za svaki dan. Kada se dobiju vrijednost za svaki dan onda se računaju prosječne temperature za svaka uzastopna tri dana. U mjesecima koji imaju 31 dan srednja vrijednost temperature računa se za posljednja 4 dana dok se prethodni dani uzimaju po tri.

5.2.1 Srednja vrijednost vanjske temperature na području grada Varaždina za period grijanja

U sljedećim tablicama i dijagramima prikazane su srednje trodnevne vrijednosti temperature vanjskog zraka za period grijanja od 01.10.2015 do 15.04.2016.

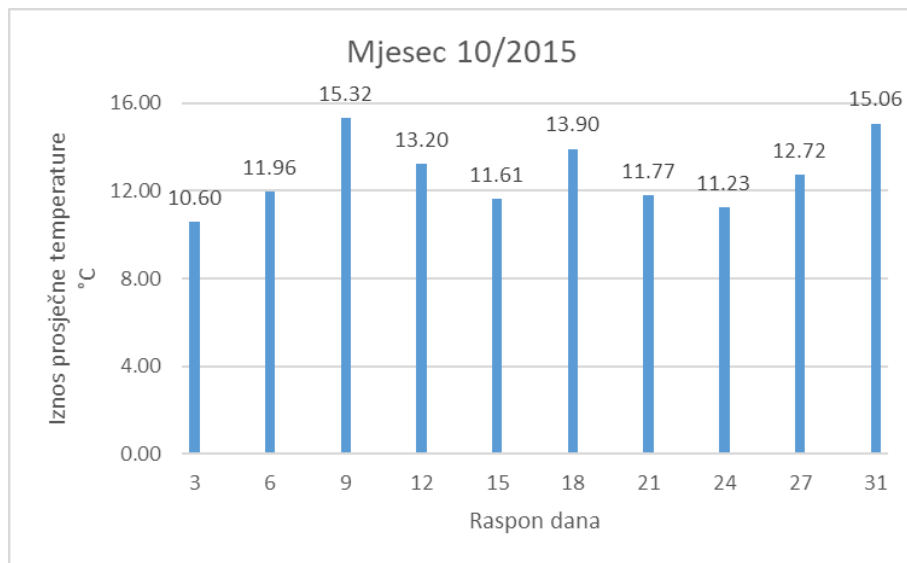
Tablica 12. i grafikon 1. prikazuju prosječne vrijednosti temperature za mjesec listopad te je vidljivo da maksimalna vrijednost temperature ne prelazi 16°C a minimalna ne pada ispod 10 °C

Tablica 11. Prosječne temperature za mjesec listopad

Mjesec 10/2015										
Trodnevni prosjek temerature(°C)	10,6	11,96	15,32	13,20	11,61	13,90	11,77	11,23	12,72	15,06
Raspon dana u mjesecu	1-3	4-6	7-9	10-12	13-15	16-18	19-21	22-24	25-27	28-31

Izvor: vlastiti

Grafikon 1. Prosječne temperature za mjesec listopad



Izvor: vlastiti

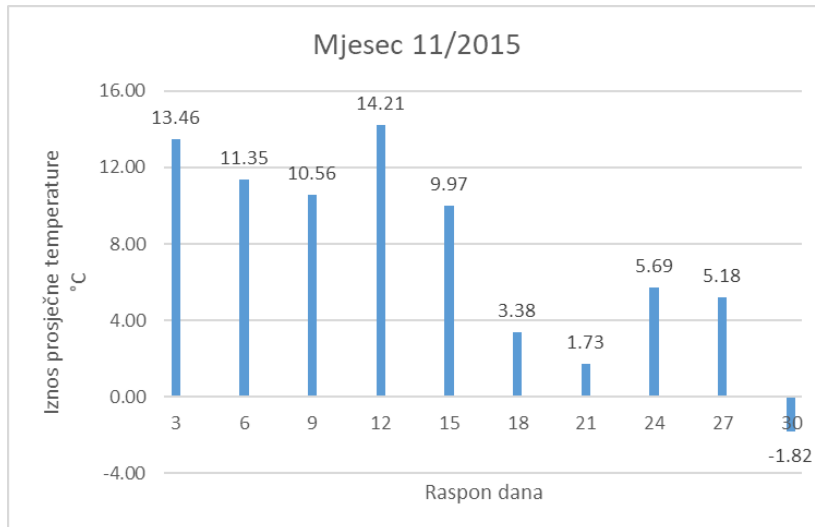
Tablica 13. i grafikon 2. prikazuju prosječne vrijednosti temperature za mjesec studeni te je vidljivo da maksimalna vrijednost temperature ne prelazi 15 °C a minimalna ne pada ispod -2 °C. Također je vidljivo da je relativno velik raspon između maksimalne i minimalne mjesecne temperature.

Tablica 12. Prosječne temperature za mjesec studeni

Mjesec 11/2015										
Trodnevni prosjek temerature(°C)	13,6	11,35	10,56	14,21	9,97	3,38	1,73	5,69	5,18	-1,82
Raspon dana u mjesecu	1-3	4-6	7-9	10-12	13-15	16-18	19-21	22-24	25-27	28-30

Izvor: vlastiti

Grafikon 2. Prosječne temperature za mjesec studeni



Izvor: vlastiti

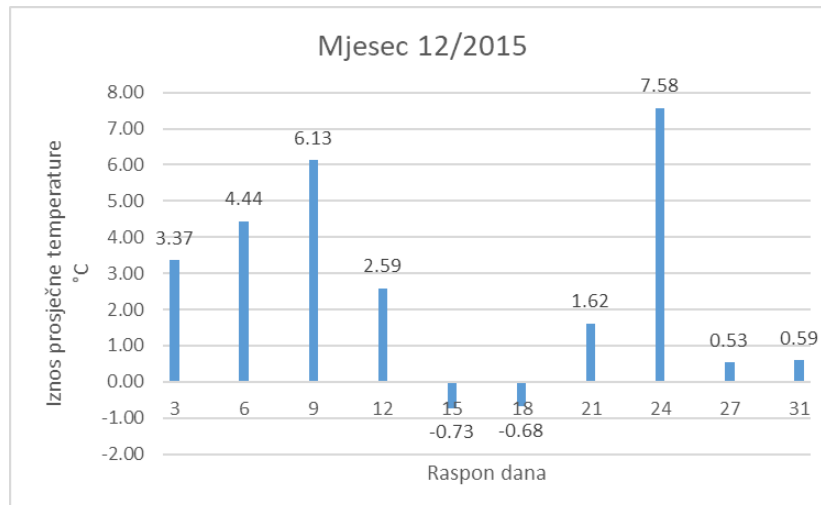
Tablica 14. i grafikon 3. prikazuju prosječne vrijednosti temperature za mjesec prosinac te je vidljivo da maksimalna vrijednost temperature ne prelazi 8 °C a minimalna ne pada ispod -1 °C.

Tablica 13. Prosječne temperature za mjesec prosinac

Mjesec 12/2015										
Trodnevni prosjek temerature(°C)	3,37	4,44	6,13	2,59	-0,73	-0,68	1,62	7,58	0,53	0,59
Raspon dana u mjesecu	1-3	4-6	7-9	10-12	13-15	16-18	19-21	22-24	25-27	28-31

Izvor: vlastiti

Grafikon 3. Prosječne temperature za mjesec prosinac



Izvor: vlastiti

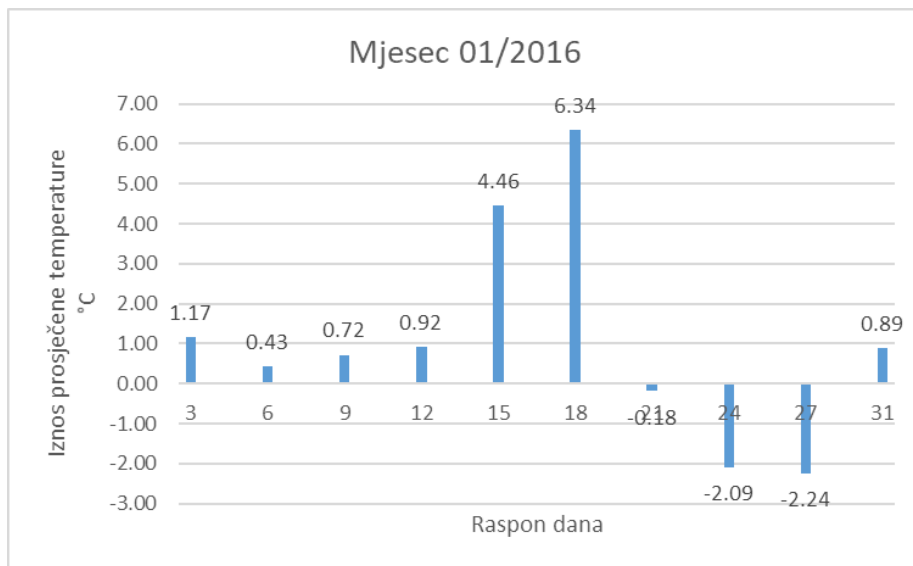
Tablica 15. i grafikon 4. prikazuju prosječne vrijednosti temperature za mjesec siječanj te je vidljivo da maksimalna vrijednost temperature ne prelazi 7 °C a minimalna ne pada ispod -3 °C.

Tablica 14. Prosječne temperature za mjesec siječanj

Mjesec 01/2016										
Trodnevni prosjek temerature(°C)	1,17	0,43	0,72	0,92	4,46	6,34	-0,18	-2,09	-2,24	0,89
Raspon dana u mjesecu	1-3	4-6	7-9	10-12	13-15	16-18	19-21	22-24	25-27	28-31

Izvor: vlastiti

Grafikon 4. Prosječne temperature za mjesec siječanj



Izvor: vlastiti

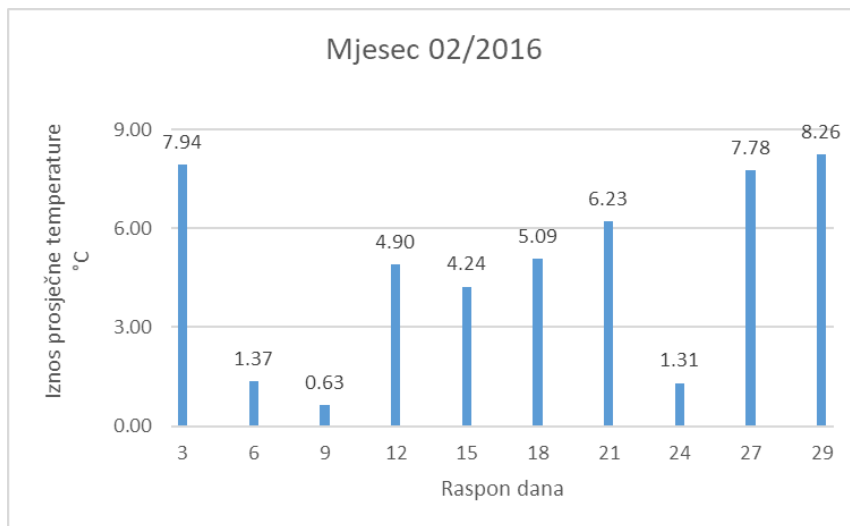
Tablica 16. i grafikon 5. prikazuju prosječne vrijednosti temperature za mjesec veljaču te je vidljivo da maksimalna vrijednost temperature ne prelazi 9 °C a minimalna ne pada ispod 0 °C.

Tablica 15. Prosječne temperature za mjesec veljača

Mjesec 02/2016										
Trodnevni prosjek temerature(°C)	7,94	1,37	0,63	4,9	4,24	5,09	6,23	1,31	7,78	8,26
Raspon dana u mjesecu	1-3	4-6	7-9	10-12	13-15	16-18	19-21	22-24	25-27	28-29

Izvor: vlastiti

Grafikon 5 Prosječne temperature za mjesec veljača



Izvor: vlastiti

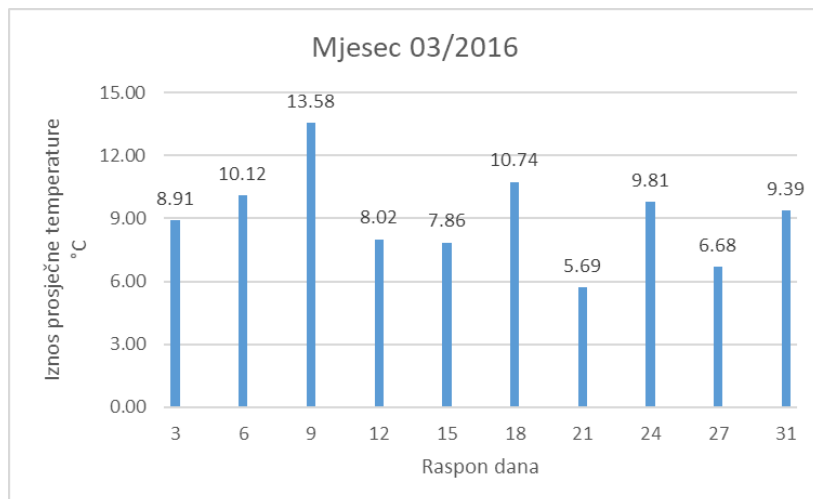
Tablica 17. i grafikon 6. prikazuju prosječne vrijednosti temperature za mjesec ožujak te je vidljivo da maksimalna vrijednost temperature ne prelazi 14 °C a minimalna ne pada ispod 5 °C.

Tablica 16. Prosječne temperature za mjesec ožujak

Mjesec 03/2016										
Trodnevni prosjek temerature(°C)	8,91	10,12	13,58	8,02	7,86	10,74	5,69	9,81	6,68	9,39
Raspon dana u mjesecu	1-3	4-6	7-9	10-12	13-15	16-18	19-21	22-24	25-27	28-31

Izvor: vlastiti

Grafikon 6. Prosječne temperature za mjesec ožujak



Izvor: vlastiti

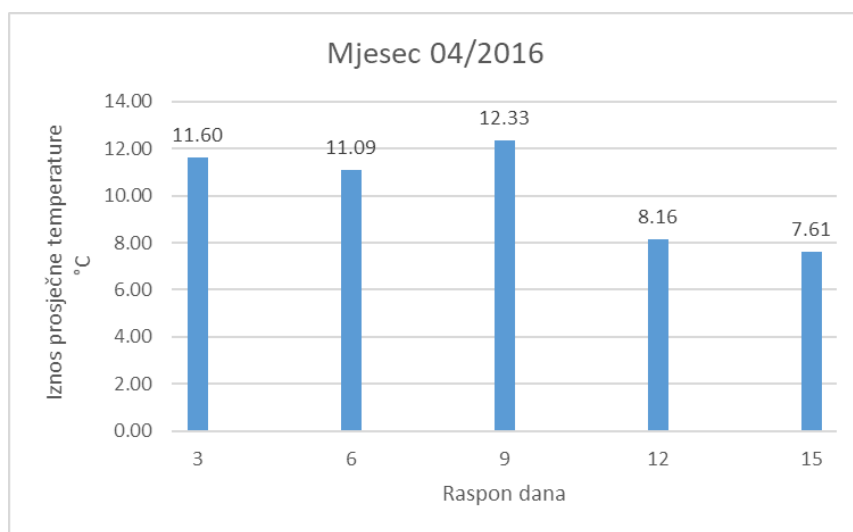
Tablica 18. i grafikon 7. prikazuju prosječne vrijednosti temperature za mjesec travanj te je vidljivo da maksimalna vrijednost temperature ne prelazi 13 °C a minimalna ne pada ispod 7 °C.

Tablica 17. Prosječne temperature za mjesec travanj

Mjesec 04/2016					
Trodnevni prosjek temerature(°C)	11,6	11,09	12,33	8,16	7,61
Raspon dana u mjesecu	1-3	4-6	7-9	10-12	13-15

Izvor: vlastiti

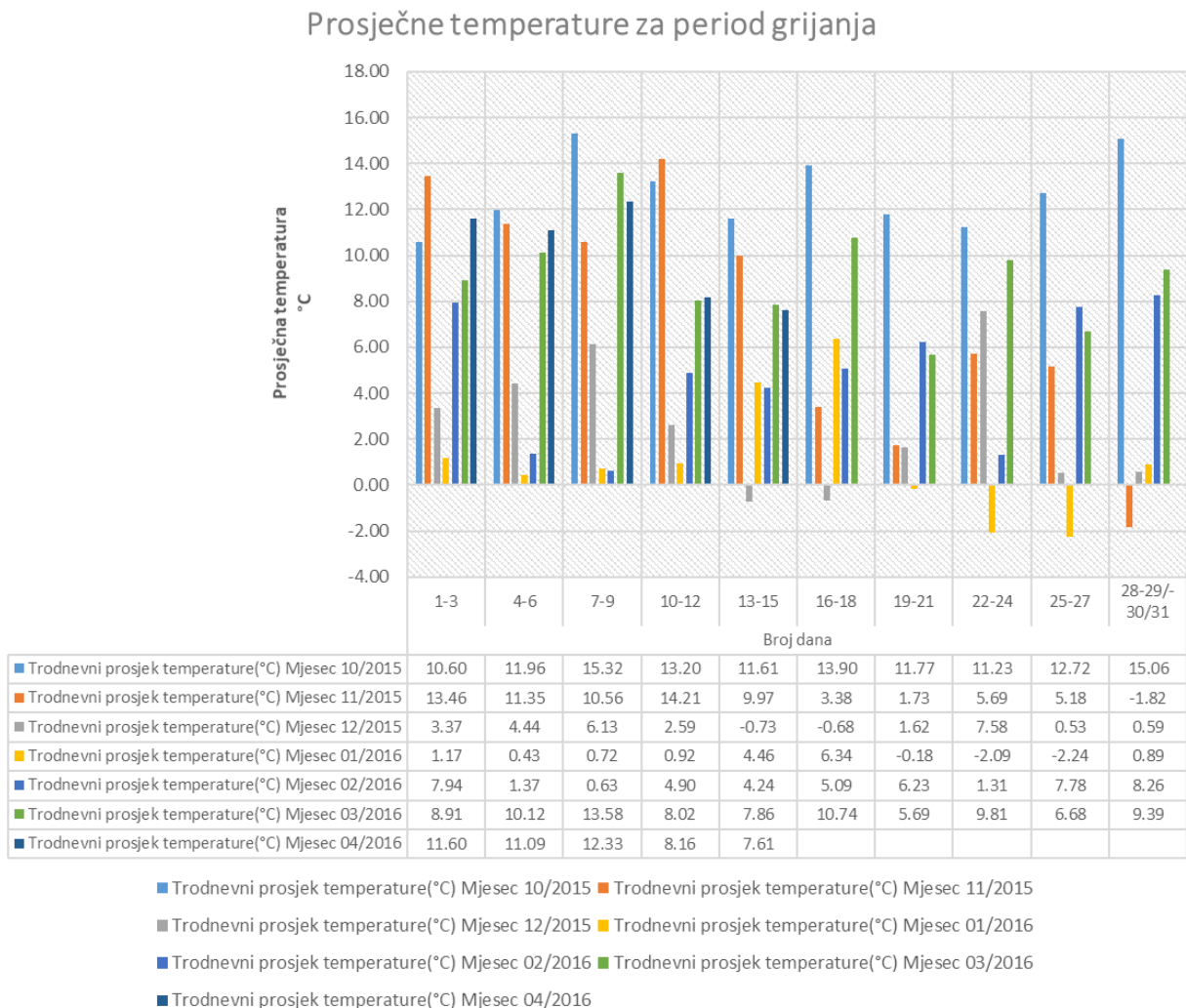
Grafikon 7. Prosječne temperature za mjesec travanj



Izvor: vlastiti

U nastavku je prikazana tablica i graf svih vrijednosti prosječnih trodnevnih temperatura na mjesečnoj bazi za period grijanja.

Grafikon 8. Prosječne vrijednosti temperature svih mjeseci za period grijanja



Izvor: vlastiti

Iz prikazanog grafra može se uočiti da prosječna vanjska temperatura pada ispod 0°C u mjesecu studenom prosincu, siječnju i veljači dok su za ostale mjesece uglavnom vanjske prosječne trodnevne temperature iznad 0°C za vrijeme perioda grijanja.

5.2.2 Srednja vrijednost vanjske temperature na području grada Varaždina za period hlađenja

U sljedećim tablicama i dijagramima prikazane su srednje trodnevne vrijednosti temperature vanjskog zraka za period hlađenja od 15.06.2016 do 15.09.2016 vrijednosti su uzete za period u danu od 8:59h do 20h.

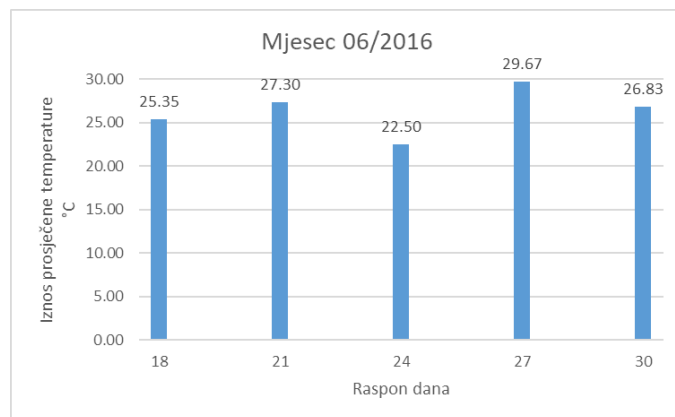
Tablica 19. i grafikon 9. prikazuju prosječne vrijednosti temperature za mjesec lipanj te je vidljivo da maksimalna vrijednost temperature ne prelazi 30°C a minimalna ne pada ispod 22 °C.

Tablica 18. Prosječne temperature za mjesec lipanj

Mjesec 06/2016					
Trodnevni prosjek temerature(°C)	25,35	27,30	22,5	29,67	26,83
Raspon dana u mjesecu	16-18	19-21	22-24	25-27	28-30

Izvor: vlastiti

Grafikon 9. Prosječne temperature za mjesec lipanj



Izvor: vlastiti

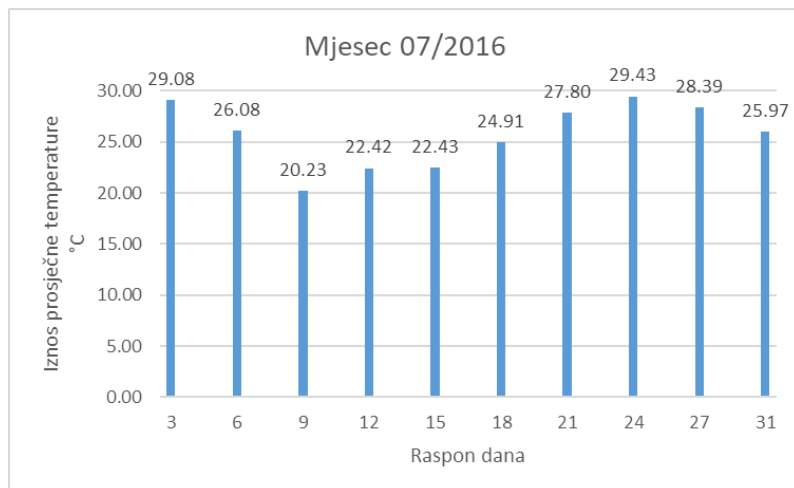
Tablica 20. i grafikon 10. prikazuju prosječne vrijednosti temperature za mjesec srpanj te je vidljivo da maksimalna vrijednost temperature ne prelazi 30°C a minimalna ne pada ispod 20 °C.

Tablica 19. Prosječne temperature za mjesec srpanj

Mjesec 07/2016										
Trodnevni prosjek temerature(°C)	29,08	26,08	20,23	22,42	22,43	24,91	27,80	29,43	28,39	25,97
Raspon dana u mjesecu	1-3	4-6	7-9	10-12	13-15	16-18	19-21	22-24	25-27	28-31

Izvor: vlastiti

Grafikon 10. Prosječne temperature za mjesec srpanj



Izvor: vlastiti

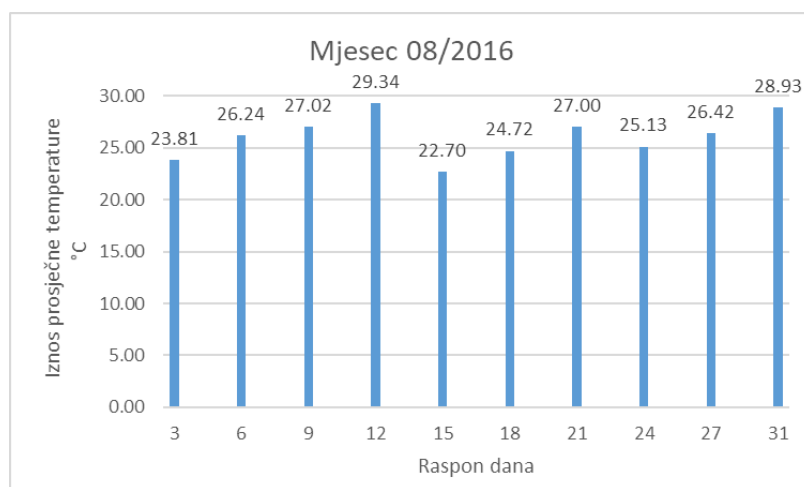
Tablica 21. i grafikon 11. prikazuju prosječne vrijednosti temperature za mjesec kolovoz te je vidljivo da maksimalna vrijednost temperature ne prelazi 29°C a minimalna ne pada ispod 22 °C.

Tablica 20. Prosječne temperature za mjesec kolovoz

Mjesec 08/2016										
Trodnevni prosjek temerature(°C)	23,81	26,24	27,02	29,34	22,70	24,72	27,00	25,13	26,42	28,93
Raspon dana u mjesecu	1-3	4-6	7-9	10-12	13-15	16-18	19-21	22-24	25-27	28-31

Izvor: vlastiti

Grafikon 11. Prosječne temperature za mjesec kolovoz



Izvor: vlastiti

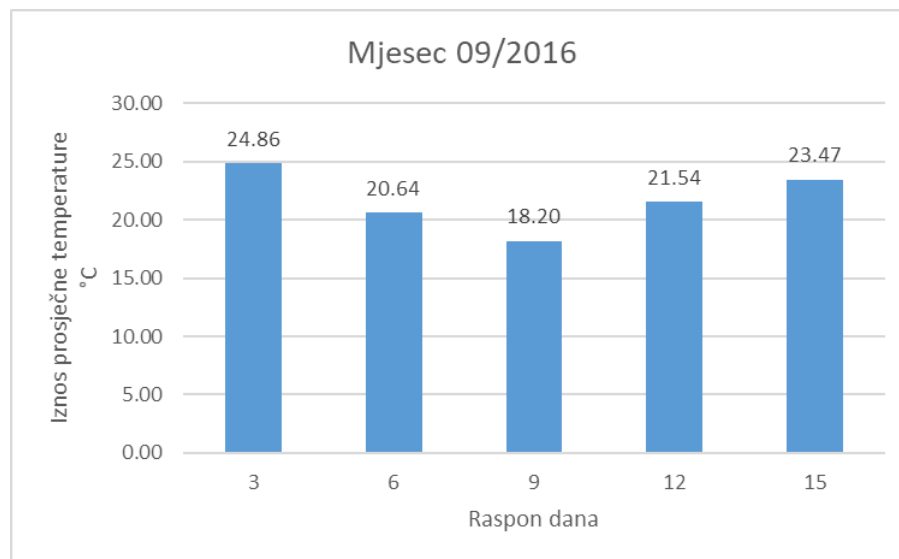
Tablica 22. i grafikon 12. prikazuju prosječne vrijednosti temperature za mjesec rujan te je vidljivo da maksimalna vrijednost temperature ne prelazi 25°C a minimalna ne pada ispod 18 °C.

Tablica 21. Prosječne temperature za mjesec rujan

Mjesec 09/2016					
Trodnevni prosjek temerature(°C)	24,86	20,64	18,20	21,54	23,47
Raspon dana u mjesecu	1-3	4-6	7-9	8-12	13-15

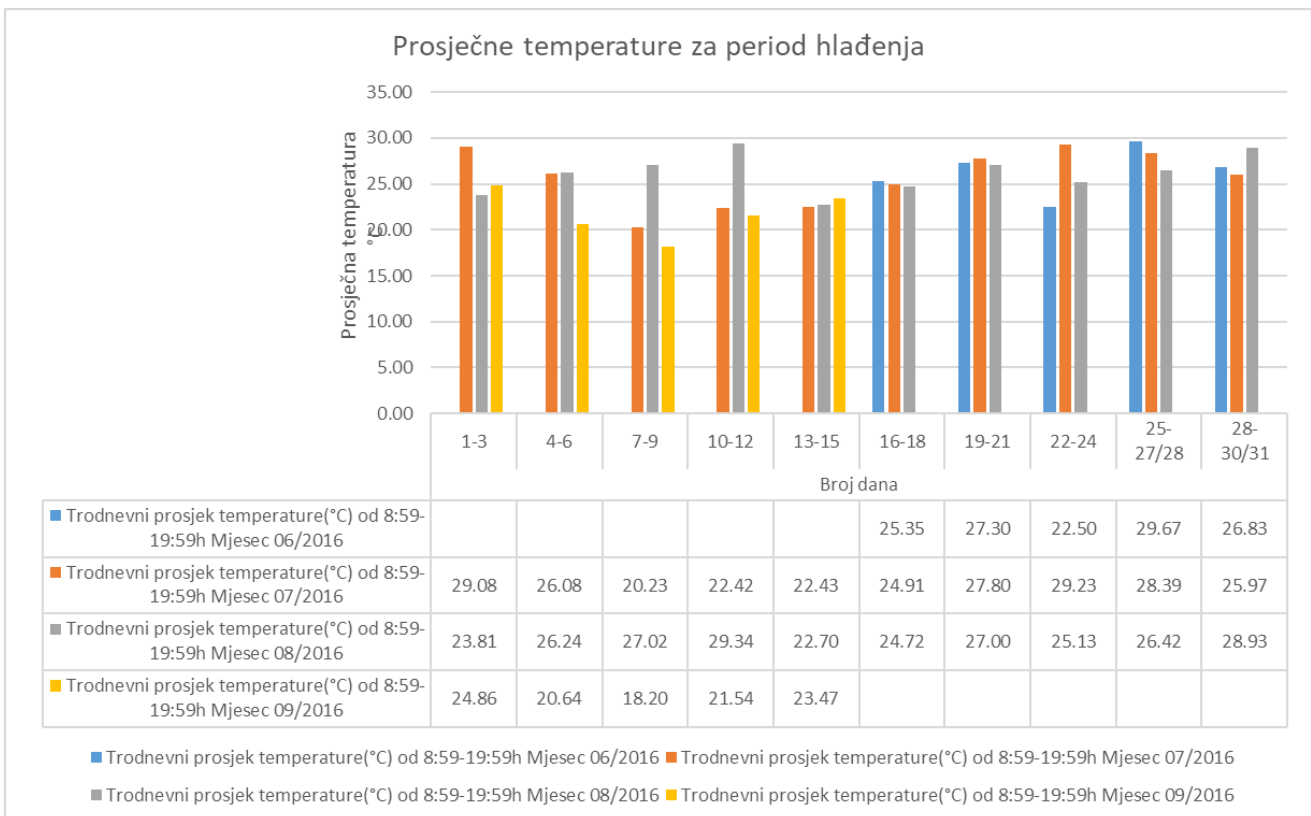
Izvor: vlastiti

Grafikon 12. Prosječne temperature za mjesec rujan



Izvor: vlastiti

Grafikon 13. Prosječne temperature za period hlađenja



5.3. Izračun prosječne vrijednosti insolacije na trodnevnoj bazi za period grijanja i hlađenja

Na temelju određenog vremenskog perioda za grijanje i hlađenje iz baze podataka sa web stranice (https://re.jrc.ec.europa.eu/pvg_tools/en/#MR) preuzimaju se podaci za insolaciju. Preuzeti podaci sortirani su po satima za 2015.godinu i 2016.godinu. Prvo se sortiraju podaci za vremenski period grijanja, koji kako je prije definirano traje od 10/2015 do polovice 04/2016. Za period hlađenja termo tehnički sustav je primoran smanjiti temperaturu ogrjevnog medija na nižu od vanjske te nam ovdje insolacija za period hlađenja od 15.06.2016 do 15.09.2016 nije važna, pošto su solarni kolektori kao takvi van pogona. Solarni kolektori u periodu hlađenja došli bi do izražaja kada bih se pomoću njih pripremala PTV ali to ovdje nije slučaj.

Na području sjeverozapadne Hrvatske najbolja insolacija se postiže za kut nagiba između 30° i 45° stoga se kod postavljanja parametra na web stranici uzima kut od upravo 45° u odnosu na horizontalnu površinu. Prema tome u sljedećoj tablici dobiveni su podaci za prosječnu insolaciju u W/m^2 po satu za pojedini dani tokom perioda grijanja

Tablica 22. Prosječna insolacija u W/m^2 po satu za određeni dan perioda grijanja

DAN ↓	Insolacija u W/m^2 prosjek po satu za određeni dan						
	Mjesec/Godina						
	10/2015	11/2015	12/2015	01/2016	02/2016	03/2016	04/2016
1	243.81	244.53	132.88	75.32	165.73	127.12	106.70
2	223.79	241.01	186.41	15.06	54.76	182.31	191.22
3	104.03	238.12	95.19	9.95	25.03	20.47	270.59
4	224.48	240.58	66.76	3.09	193.93	121.50	274.37
5	215.41	235.11	58.37	8.71	204.77	57.46	241.84
6	129.19	238.00	198.17	0.57	229.68	157.12	273.01
7	22.02	153.20	35.85	67.63	44.35	41.26	252.88
8	32.24	233.96	16.09	7.26	32.25	48.45	31.89
9	49.46	170.10	19.85	29.94	131.42	153.85	128.88
10	20.43	68.69	103.62	83.54	25.31	261.99	207.96
11	18.23	218.25	207.49	63.85	250.60	36.40	292.66
12	139.19	223.88	37.99	121.26	44.30	57.13	293.93
13	22.12	220.10	203.84	182.12	155.14	31.60	273.67
14	22.93	109.53	202.28	144.80	68.30	301.35	118.34
15	18.68	89.35	33.96	60.40	24.48	51.87	281.04
16	103.36	196.88	43.63	130.08	30.05	34.31	
17	42.02	116.91	28.31	151.91	26.73	289.34	
18	109.13	203.31	64.70	220.38	25.35	314.40	
19	14.96	198.86	134.43	98.05	48.29	289.99	
20	137.53	69.41	45.60	174.74	223.03	309.79	
21	135.67	10.07	201.40	135.11	164.62	266.42	
22	55.74	58.80	193.73	139.74	227.07	157.64	
23	97.45	114.27	203.09	27.51	39.53	75.34	
24	252.84	28.89	167.91	136.75	201.13	188.54	
25	145.49	12.72	186.25	184.00	50.98	143.84	
26	244.75	24.12	204.78	198.00	85.43	109.24	
27	81.37	33.29	195.71	180.03	165.71	250.96	
28	77.95	111.08	205.16	237.53	78.70	271.22	
29	43.63	146.48	20.82	214.59	40.62	239.72	
30	237.37	158.86	62.27	121.40		186.76	
31	208.84		175.45	53.05		292.49	

Izvor: vlastiti

Nakon izračuna prosječne insolacije u W/m² po satu za određeni dan i perioda grijanja računa se ukupna insolacija koja se može dobiti tijekom 24 sata za svaki dan. Zbog velikog opsega podatka sljedeće što se izračuna je prosječna insolacija po danu ali za raspon od 3 uzastopna dana. Za mjesec koji imaju 31 dan zadnji podatak u sljedećoj tablici se odnosi na zadnja 4 dana. Također kod mjeseca veljače zadnji podatak u tablici je prosječna vrijednost za dva dana a ne tri kako što je slučaj ostalih dana u tablici.

Tablica 23. Prikaz prosječne insolacije (po danu) za definirani raspon dana i određeni mjesec

Insolacija za 10/2015 prosjek po danu										
Raspon dana	1-3	4-6	7-9	9-12	13-15	16-18	19-21	22-24	25-27	28-31
Insolacija (Wh/m ²)	4573.04	4552.64	829.76	1422.8	509.84	2036.08	2305.28	3248.24	3772.88	3406.74
Insolacija za 11/2015 prosjek po danu										
Raspon dana	1-3	4-6	7-9	9-12	13-15	16-18	19-21	22-24	25-27	28-30
Insolacija (Wh/m ²)	5789.22	5709.51	4458.11	4086.55	3351.92	2226.75	2226.75	1615.69	560.99	3331.33
Insolacija za 12/2015 prosjek po danu										
Raspon dana	1-3	4-6	7-9	9-12	13-15	16-18	19-21	22-24	25-27	28-31
Insolacija (Wh/m ²)	3315.86	2586.41	574.27	2792.8	3520.73	1093.16	3051.43	4517.87	4693.91	2782.15
Insolacija za 01/2016 prosjek po danu										
Raspon dana	1-3	4-6	7-9	9-12	13-15	16-18	19-21	22-24	25-27	28-31
Insolacija (Wh/m ²)	802.63	99.01	838.61	2149.21	3098.62	4018.92	3263.21	3263.21	4496.25	3759.39
Insolacija za 02/2016 prosjek po danu										
Raspon dana	1-3	4-6	7-9	9-12	13-15	16-18	19-21	22-24	25-27	28-29
Insolacija (Wh/m ²)	1964.17	5026.98	1664.2	2561.66	1667.81	657.05	3487.51	3741.87	2417.03	1431.81
Insolacija za 03/2016 prosjek po danu										
Raspon dana	1-3	4-6	7-9	9-12	13-15	16-18	19-21	22-24	25-27	28-31
Insolacija (Wh/m ²)	2639.18	2688.65	1948.45	2844.14	3078.58	5104.45	6929.59	3372.11	4032.36	5941.1
Insolacija za 04/2016 prosjek po danu										
Raspon dana	1-3		4-6		7-9		9-12		13-15	
Insolacija (Wh/m ²)	4548.06		6313.7		3309.25		6356.46		5384.48	

Izvor: vlastiti

Vrlo je bitno kod izračuna u obzir uzeti i faktor oblačnosti. Faktor oblačnosti ukazuje na mogućnost pojave oblačnih dana tijekom zimskog perioda. Stoga se dobiveni podaci iz tablice 24 množe sa određenim faktorom. Iskustveno je određeno da se faktor oblačnosti množi sa drugom polovicom 10. mjeseca zbog veće mogućnosti naoblake, studenim, prosincem, siječnjem, veljačom te ožujkom a da je mjesec travanj relativno sunčan mjesec te se njemu ne pridodaje faktor oblačnosti. Iz tablice 25 može se vidjeti koje su vrijednosti faktora oblačnosti po pojedinim mjesecima.

Vrijednosti faktora oblačnosti prikazane u tablici množe se sa vrijednostima u tablici 24. te se dobivaju vrijednosti sa svaki mjesec prikazane u tablicama i dijagramima u nastavku poglavlja.

Tablica 24. Faktor oblačnosti

Mjesec	Faktor oblačnosti
10/2015	0,8
11/2015	0,7
12/2015	0,65
01/2016	0,6
02/2016	0,65
03/2016	0,8
04/2016	1

Izvor: vlastiti

U nastavku su prikazane vrijednosti za pojedini mjesec tablično te grafički da bi se vidjeli skokovi insolacije tijekom perioda grijanja.

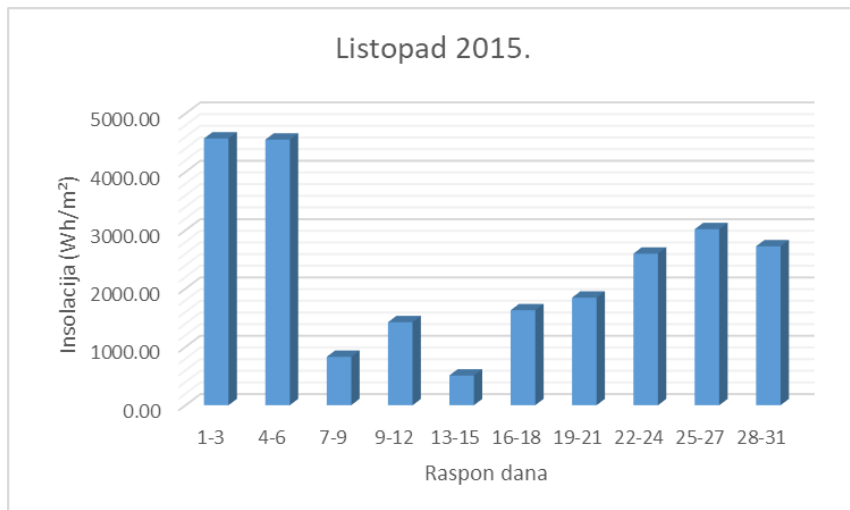
Sljedeća tablica 26. i dijagram 14. prikazuju vrijednosti insolacije za mjesec listopad, prosječna maksimalna vrijednost insolacije tijekom dana ne prelazi vrijednost od 5000 Wh/m^2 i ne pada ispod vrijednosti od 500 Wh/m^2 .

Tablica 25. Insolacija za mjesec listopad

Insolacija za 10/2015 prosjek po danu uz faktor oblačnosti 0,8										
Raspon dana	1-3	4-6	7-9	9-12	13-15	16-18	19-21	22-24	25-27	28-31
Insolacija (Wh/m^2)	4573.04	4552.64	829.76	1422.80	509.84	1628.86	1844.22	2598.59	3018.30	2725.39

Izvor: vlastiti

Grafikon 14. Insolacija za mjesec listopad



Izvor: vlastiti

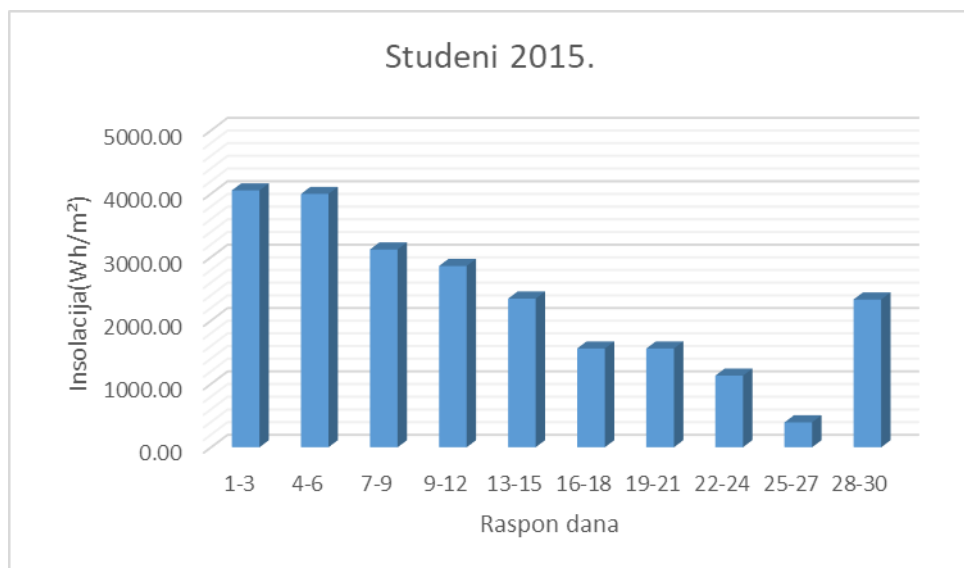
Tablica 27. i dijagram 15. prikazuju vrijednosti insolacije za mjesec studeni, prosječna maksimalna vrijednost insolacije tijekom dana ne prelazi vrijednost od 4100 Wh/m^2 i ne pada ispod vrijednosti od 400 Wh/m^2 .

Tablica 26. Insolacija za mjesec studeni

Insolacija za 11/2015 prosjek po danu uz faktor oblačnosti 0,7										
Raspon dana	1-3	4-6	7-9	9-12	13-15	16-18	19-21	22-24	25-27	28-30
Insolacija (Wh/m^2)	4052.45	3996.66	3120.68	2860.59	2346.34	1558.73	1558.73	1130.98	392.69	2331.93

Izvor: vlastiti

Grafikon 15. Insolacija za mjesec studeni



Izvor: vlastiti

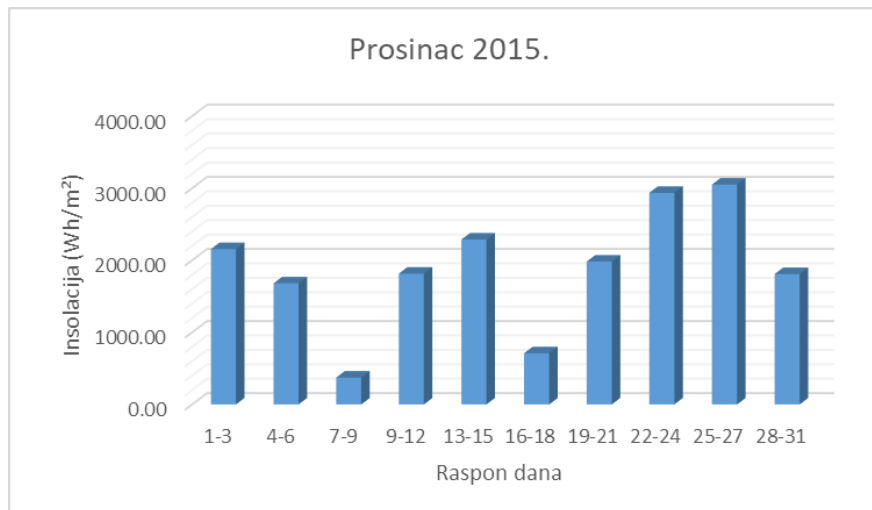
Tablica 28. i dijagram 16. prikazuju vrijednosti insolacije za mjesec prosinac, prosječna maksimalna vrijednost insolacije tijekom dana ne prelazi vrijednost od 3100 Wh/m^2 i ne pada ispod vrijednosti od 370 Wh/m^2 .

Tablica 27. Insolacija za mjesec prosinac

Insolacija za 12/2015 prosjek po danu										
Raspon dana	1-3	4-6	7-9	9-12	13-15	16-18	19-21	22-24	25-27	28-31
Insolacija (Wh/m^2)	3315.86	2586.41	574.27	2792.8	3520.73	1093.16	3051.43	4517.87	4693.91	2782.15

Izvor: vlastiti

Grafikon 16. Insolacija za mjesec prosinac



Izvor: vlastiti

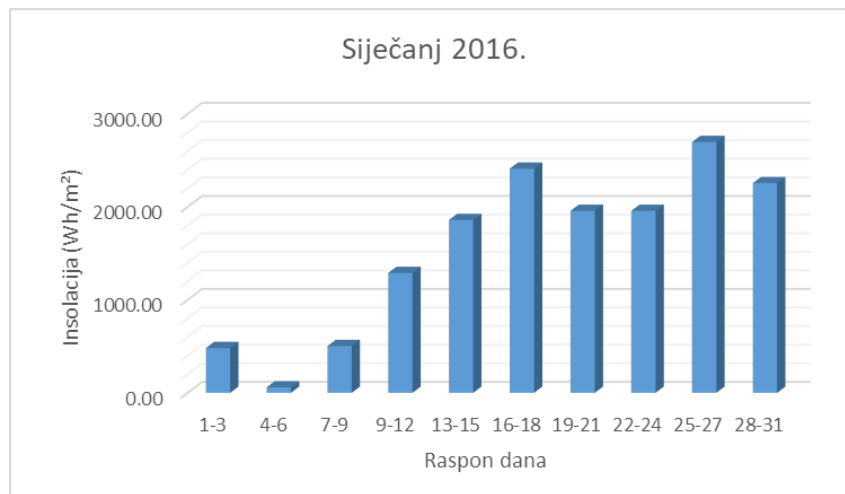
Tablica 29. i dijagram 17. prikazuju vrijednosti insolacije za mjesec siječanj, prosječna maksimalna vrijednost insolacije tijekom dana ne prelazi vrijednost od 2700 Wh/m² a minimalna pada čak do 59,4 Wh/m² te se iz ovog može zaključiti da u ovom periodu će raditi isključivo dizalica topline jer se radi o vrlo maloj vrijednosti.

Tablica 28. Insolacija za mjesec siječanj

Insolacija za 01/2016 prosjek po danu uz faktor oblačnosti 0,6										
Raspon dana	1-3	4-6	7-9	9-12	13-15	16-18	19-21	22-24	25-27	28-31
Insolacija (Wh/m ²)	481.58	59.41	503.17	1289.53	1859.17	2411.35	1957.93	1957.93	2697.75	2255.63

Izvor: vlastiti

Grafikon 17. Insolacija za mjesec siječanj



Izvor: vlastiti

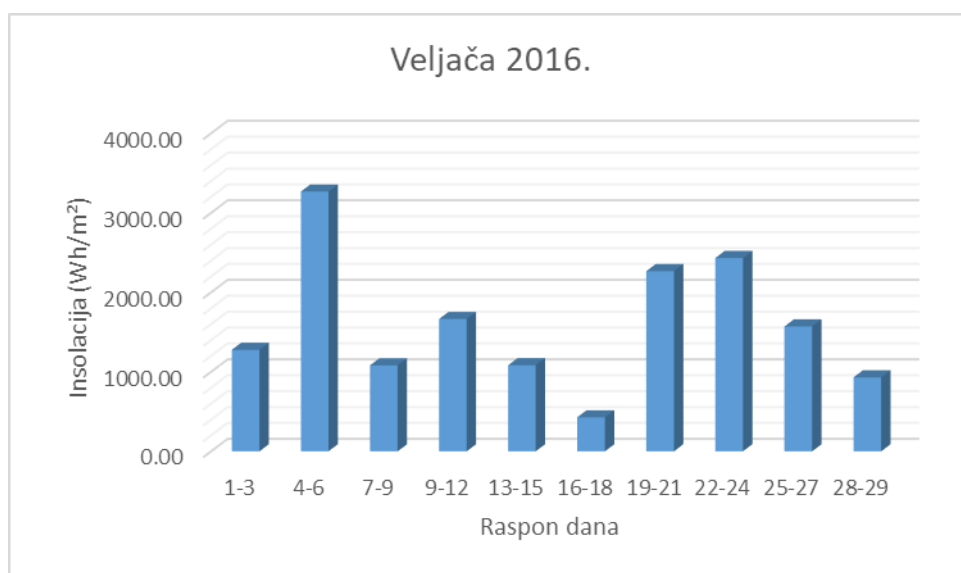
Tablica 30. i dijagram 18. prikazuju vrijednosti insolacije za mjesec veljaču, prosječna maksimalna vrijednost insolacije tijekom dana ne prelazi vrijednost od 2500 Wh/m^2 i ne pada ispod vrijednosti od 400 Wh/m^2 .

Tablica 29. Insolacija za mjesec veljača

Insolacija za 02/2016 projek po danu uz faktor oblačnosti 0,65										
Raspon dana	1-3	4-6	7-9	9-12	13-15	16-18	19-21	22-24	25-27	28-29
Insolacija (Wh/m^2)	1276.71	3267.54	1081.73	1665.08	1084.08	427.08	2266.88	2432.22	1571.07	930.68

Izvor: vlastiti

Grafikon 18. Insolacija za mjesec veljača



Izvor: vlastiti

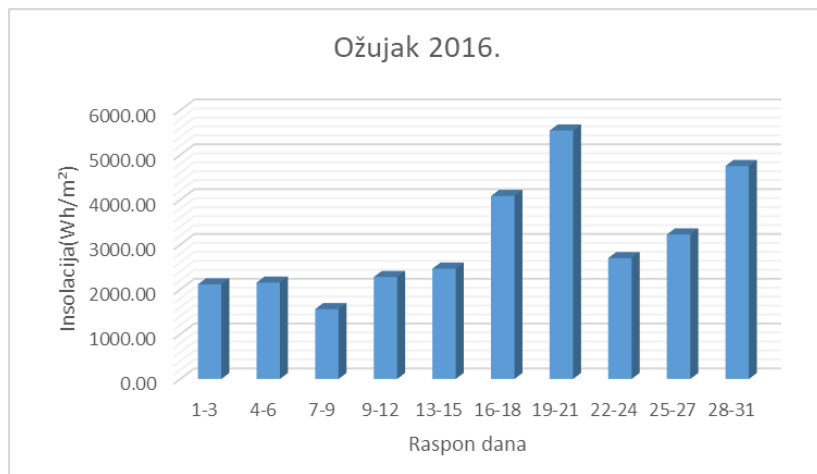
Tablica 31. i dijagram 19. prikazuju vrijednosti insolacije za mjesec ožujak, prosječna maksimalna vrijednost insolacije tijekom dana ne prelazi vrijednost od 5600 Wh/m^2 i ne pada ispod vrijednosti od 1500 Wh/m^2 .

Tablica 30. Insolacija za mjesec ožujak

Insolacija za 03/2016 projek po danu uz faktor oblačnosti 0,8										
Raspon dana	1-3	4-6	7-9	9-12	13-15	16-18	19-21	22-24	25-27	28-31
Insolacija (Wh/m^2)	2111.34	2150.92	1558.76	2275.31	2462.86	4083.56	5543.67	2697.69	3225.89	4752.88

Izvor: vlastiti

Grafikon 19. Insolacija za mjesec ožujak



Izvor: vlastiti

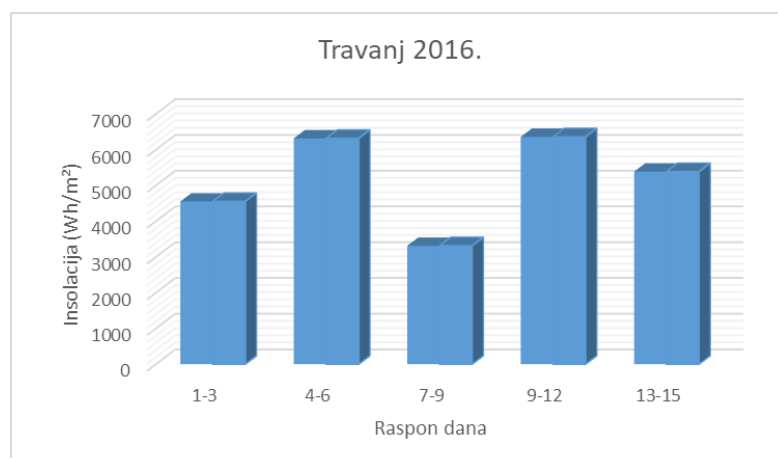
Tablica 32. i dijagram 20. prikazuju vrijednosti insolacije za mjesec travanj, prosječna maksimalna vrijednost insolacije tijekom dana ne prelazi vrijednost od 6400 Wh/m² i ne pada ispod vrijednosti od 3300 Wh/m². Ovaj mjesec u odnosu na preostalih šest omogućuje relativno velike i konstante vrijednosti insolacije te će u ovom periodu dizalice topline manje raditi zbog pomoći solarnih kolektora u sustavu grijanja.

Tablica 31. Insolacija za mjesec travanj

Insolacija za 04/2016 prosjek po danu					
Raspon dana	1-3	4-6	7-9	9-12	
Insolacija (Wh/m ²)	4548.06	6313.7	3309.25	6356.46	5384.48

Izvor: vlastiti

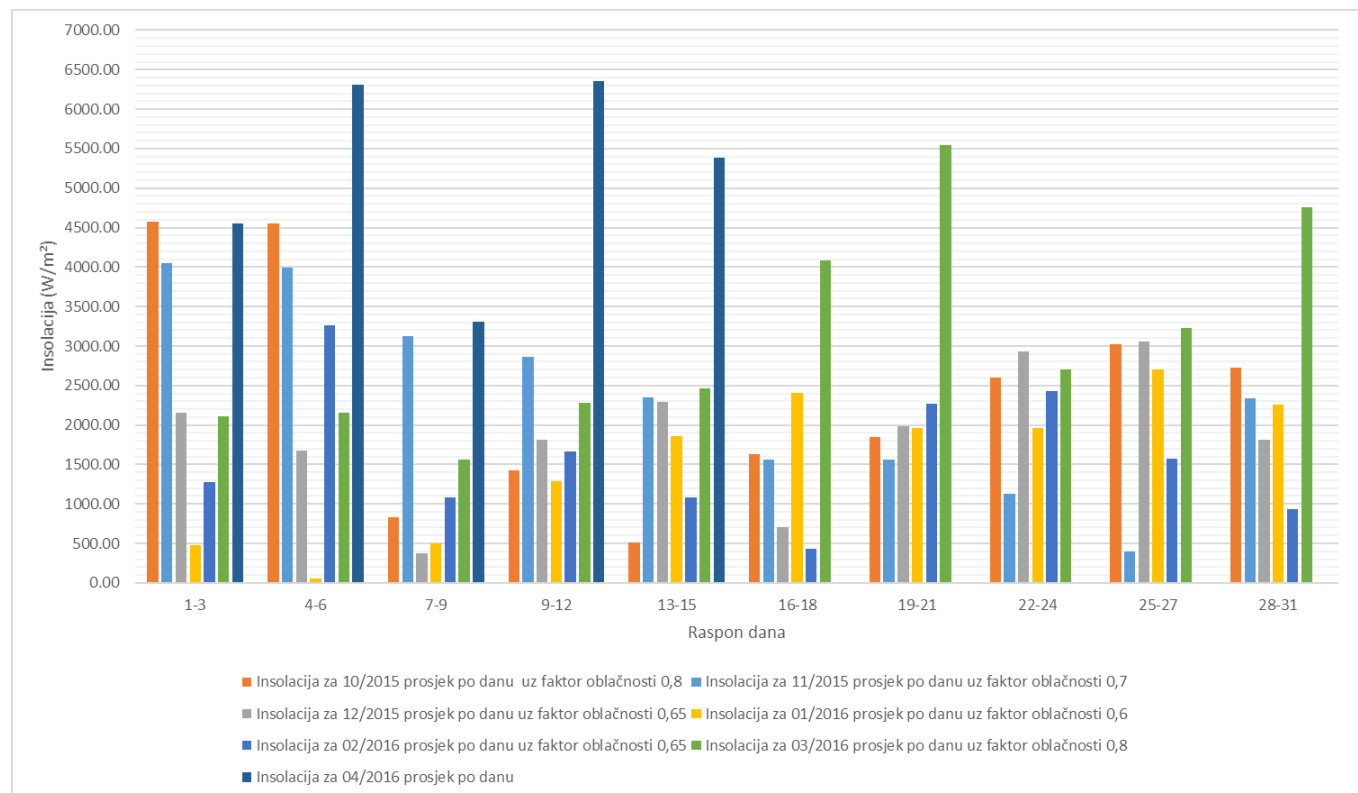
Grafikon 20. Insolacija za mjesec travanj



Izvor: vlastiti

Da bi se detaljnije prikazali odnosi insolacije kroz period grijanja napravljen je grafikon sa prosječnim trodnevnim vrijednostima insolacije. U 10. mjesecu najviše insolacije se dobiva u prvom i drugom trodnevnom rasponu dok su ostali u značajnjem padu u odnosu na prava dva. Insolacija u 11. mjesecu je prva dva trodnevna raspona relativno konstantna te se prema kraju mjeseca onda smanjuje. Prosinac kroz cijeli mjesec ima relativno konstantnu insolaciju sam malim skokovima te je onda dosta niska. Insolacija mjeseca siječnja se nastavlja na prosinac koja kreće sa malim vrijednostima te prema kraju mjeseca ona raste. Veljača ima vrijednosti koje su prosječne za ovaj period grijanja. U ožujku insolacija ima najveće skokove, prva četiri perioda vrijednosti su niže onda one naglo rastu kroz dva perioda, nakon čega se umanjuju te na kraju mjeseca ponovo rastu. Na kraju perioda grijanja u mjesecu travnju vrijednosti insolacije su u značajnom porastu u odnosu na ostale mjesecce te možemo iz visokih vrijednosti insolacije zaključiti da u ovom periodu ima više sunca, topliji su dani i prestaje sezona grijanja.

Grafikon 21. Odnosi insolacije kroz period grijanja



Izvor: vlastiti

5.4. Proračun temperature polaznog i povratnog voda ogrjevnog/rashladnog medija

Kako bih se odredila kolika je ukupna potrebna toplinska energija za grijanje a rashladna energija za hlađenje, potrebno je odrediti projektnu unutarnju i vanjsku temperaturu. Projektna unutarnja i vanjska temperatura nalazi se u tablicama te ovisi o području u kojem se građevina nalazi. Za svaki period grijanja i hlađenja najbitniji utjecajni faktor za izračun potrebne energije je prosječna vanjska temperatura koja je definirana u poglavljju 5.2. Kada su ovi parametri poznati kreće se u proračun prema sljedećim formulama gdje se prvo računa polazna te povratna temperatura ogrjevnog medija.

5.4.1 Proračun temperature polaznog i povratnog voda ogrjevnog medija za promjenjive uvjete

Najprije se računa temperatura ogrjevnog medija u polaznom vodu prema formuli:

$$\vartheta_{w\text{polaz}} = \vartheta_m + \frac{\Delta\vartheta_{wn}}{2} \cdot \frac{\vartheta_p - \vartheta_{vx}}{(\vartheta_p - \vartheta_{vz})_n}, [\text{°C}] \quad (11)$$

Članovi u jednadžbi predstavljaju:

- | | |
|------------------------|---|
| ϑ_m | - srednja temperatura ogrjevnog medija |
| $\Delta\vartheta_{wn}$ | - temperatura hladne vode [10 °C] |
| ϑ_p | - unutarnja projektna temperatura grijanja |
| ϑ_{vx} | - prosječna srednja temperatura izračunata za period grijanja na dnevnoj bazi |
| ϑ_{vz} | - vanjska projektna temperatura grijanja |

te za ovaj proračun prema tablici 4. iznose:

- | | |
|------------------|------------|
| ϑ_p | - 22 °C |
| ϑ_{vz} | - -14,9 °C |

Temperatura ogrjevnog medija u povratnom vodu računa se prema formuli:

$$\vartheta_{wpovrat} = \vartheta_m - \frac{\Delta\vartheta_{wn}}{2} \cdot \frac{\vartheta_p - \vartheta_{vx}}{(\vartheta_p - \vartheta_{vz})_n}, [\text{°C}] \quad (12)$$

Gdje je ϑ_m srednja temperatura ogrjevnog medija i računa se prema formuli (13):

$$\vartheta_m = \vartheta_p + \Delta\vartheta_n \cdot \left[\frac{\vartheta_p - \vartheta_{vx}}{(\vartheta_p - \vartheta_{vz})_n} \right]^{\frac{n}{1+n}}, [\text{°C}] \quad (13)$$

Gdje je n eksponent za ventilokonvektore kod prijenosa topline konvekcijom te on iznosi:

$$n=0,3$$

a $\Delta\vartheta_n$ se izračunava prema formuli na način da se izračuna srednja temperatura polaznog voda i povratnog te se od nje oduzme vrijednost unutarnje projektne temperature.

$$\Delta\vartheta_n = \frac{\vartheta_{wp} + \vartheta_{wpov}}{2} - \vartheta_p, [\text{°C}] \quad (14)$$

Ulagni podaci temperature polaznog i povratnog voda za grijanje iznose:

$$\begin{aligned} \vartheta_{wp} & - 55 \text{ °C} \\ \vartheta_{wpov} & - 45 \text{ °C} \end{aligned}$$

Prema tome je:

$$\Delta\vartheta_n = \frac{55 + 45}{2} - 22 = 28 \text{ °C} \quad (15)$$

Na temelju definiranih formula u ovome poglavlju za prosječne dnevne temperature na trodnevnoj bazi izračunate su temperature za polazni vod i povratni vod te srednja temperatura ogrjevnog medija. Sve vrijednosti za pojedine periode kroz mjesec prikazane su u tablici 33.

Tablica 32. Prikaz temperature ogrjevnog medija polaznog i povratnog voda

	Raspon dana	Trodnevni prosjek temperature polaznog i povratnog voda ogrijevnog medija (°C)									
		1-3	4-6	7-9	10-12	13-15	16-18	19-21	22-24	25-27	28-29/-30/31
Mjesec 10/2015	ϑ_{wpolaz}	34.89	33.65	30.43	32.49	33.97	31.82	33.82	34.31	32.94	30.68
	$\vartheta_{wpovrat}$	31.80	31.32	28.62	30.10	31.16	29.62	31.05	31.40	30.43	28.80
	ϑ_m	33.34	32.29	29.52	31.30	32.57	30.72	32.44	32.86	31.68	29.74
Mjesec 11/2015	ϑ_{wpolaz}	32.24	34.21	34.92	31.52	35.46	41.07	42.41	39.15	39.58	45.23
	$\vartheta_{wpovrat}$	29.93	31.32	31.82	29.41	32.20	36.02	36.92	34.73	35.02	38.77
	ϑ_m	31.08	32.77	33.37	30.46	33.83	38.55	39.66	36.94	37.30	42.00
Mjesec 12/2015	ϑ_{wpolaz}	41.08	40.19	38.78	41.71	44.37	44.33	42.50	37.55	43.37	43.32
	$\vartheta_{wpovrat}$	36.03	35.44	34.48	36.45	38.21	38.18	36.98	33.64	37.55	37.52
	ϑ_m	38.55	37.81	36.63	39.08	41.29	41.26	39.74	35.59	40.46	40.42
Mjesec 01/2016	ϑ_{wpolaz}	42.86	43.45	43.22	43.06	40.17	38.60	43.93	45.43	45.55	43.09
	$\vartheta_{wpovrat}$	37.21	37.60	37.45	37.34	35.42	34.36	37.92	38.91	38.98	37.36
	ϑ_m	40.04	40.52	40.33	40.20	37.80	36.48	40.93	42.17	42.27	40.22
Mjesec 02/2016	ϑ_{wpolaz}	37.24	42.70	43.29	39.81	40.36	39.65	38.70	42.75	37.38	36.96
	$\vartheta_{wpovrat}$	33.43	37.11	37.50	35.18	35.55	35.07	34.43	37.14	33.52	33.23
	ϑ_m	35.33	39.90	40.39	37.50	37.96	37.36	36.56	39.95	35.45	35.10
Mjesec 03/2016	ϑ_{wpolaz}	36.39	35.32	32.12	37.17	37.31	34.76	39.15	35.60	38.32	35.97
	$\vartheta_{wpovrat}$	32.84	32.10	29.84	33.38	33.47	31.71	34.73	32.29	34.16	32.55
	ϑ_m	34.61	33.71	30.98	35.27	35.39	33.23	36.94	33.94	36.24	34.26
Mjesec 04/2016	ϑ_{wpolaz}	33.98	34.44	33.31	37.05	37.52					
	$\vartheta_{wpovrat}$	31.16	31.49	30.69	33.30	33.62					
	ϑ_m	32.57	32.97	32.00	35.17	35.57					

Izvor: vlastiti

Kada su proračunate temperature ogrjevnog medija polaznog i povratnog voda izračunava se potrebna toplinska snaga za grijanje prema formuli (16):

$$Q_G = m_w \cdot c_{pw} \cdot (\vartheta_{wp} - \vartheta_{wpov}), [\text{kW}] \quad (16)$$

Gdje su vrijednosti :

- c_{pw} - specifični toplinski kapacitet vode, [4,186 kJ/kgK]
- m_w - masa vode, kod grijanja, [kg]
- ϑ_{wp} - temperatura polaznog voda,[°C]
- ϑ_{wpov} - temperatura povratnog voda,[°C]

Proračun se radi na način da je m_w konstantan a ϑ_{wp} i ϑ_{wpov} su varijabilni u odnosu na prosječnu vanjsku dnevnu temperaturu za određeni mjesec prikazano u tablici 33. Vrijednost m_w dobije se prema formuli (16) za vrijednosti $Q_G = 25 \text{ kW}$ te poznatim vrijednostima c_{pw} i maksimalnim temperaturama polaza i povrata koje iznose 55°C i 45°C .

U nastavku su prikazane tablice sa pojedinim dobivenim vrijednostima potrebne toplinske snage za određeni period grijanja na dnevnoj bazi i trodnevnoj bazi.

Tablica 33. Potrebna Q_G po danima i mjesecima

		Potrebna Q_g na dnevnoj bazi [kW]						
		Mjesec 10/2015	Mjesec 11/2015	Mjesec 12/2015	Mjesec 01/2016	Mjesec 02/2016	Mjesec 03/2016	Mjesec 04/2016
Broj dana	1-3	7.72	5.79	12.62	14.11	9.53	8.87	7.05
	4-6	5.81	7.22	11.90	14.61	13.98	8.05	7.39
	7-9	4.53	7.75	10.75	14.42	14.48	5.70	6.55
	10-12	5.96	5.28	13.15	14.28	11.59	9.47	9.38
	13-15	7.04	8.15	15.40	11.88	12.04	9.58	9.75
	16-18	5.49	12.62	15.37	10.61	11.46	7.63	
	19-21	6.93	13.74	13.81	15.03	10.69	11.05	
	22-24	7.29	11.05	9.77	16.32	14.02	8.26	
	25-27	6.29	11.40	14.55	16.42	9.64	10.38	
	28-29/-30/31	4.70	16.14	14.51	14.31	9.31	8.54	

Izvor: vlastiti

Tablica 34. Potrebna Q_G po periodima za tri dana

		Potrebna Q_g za tri dana grijanja [kW]						
		Mjesec 10/2015	Mjesec 11/2015	Mjesec 12/2015	Mjesec 01/2016	Mjesec 02/2016	Mjesec 03/2016	Mjesec 04/2016
Broj dana	1-3	23.17	17.36	37.87	42.34	28.58	26.60	21.15
	4-6	17.43	21.65	35.69	43.83	41.93	24.15	22.17
	7-9	13.58	23.25	32.25	43.25	43.43	17.11	19.66
	10-12	17.89	15.83	39.45	42.84	34.76	28.42	28.14
	13-15	21.13	24.46	46.21	35.64	36.11	28.75	29.24
	16-18	16.46	37.85	46.10	31.83	34.37	22.88	
	19-21	20.79	41.21	41.43	45.08	32.06	33.15	
	22-24	21.88	33.14	29.32	48.96	42.06	24.78	
	25-27	18.86	34.19	43.64	49.26	28.91	31.14	
	28-29/-30/31	14.11	48.42	43.52	42.92	27.93	25.63	

Izvor: vlastiti

5.4.2 Proračun temperature polaznog i povratnog voda rashladnog medija za promjenjive uvjete

Formule za proračun temperature polaznog i povratnog voda rashladnog medija jednake su kao i za proračun temperature polaznog i povratnog voda ogrjevnog medija.

Temperatura rashladnog medija u polaznom vodu računa se prema formuli:

$$\vartheta_{w\text{polaz}} = \vartheta_m + \frac{\Delta\vartheta_{wn}}{2} \cdot \frac{\vartheta_p - \vartheta_{vx}}{(\vartheta_p - \vartheta_{vz})_n}, [\text{°C}] \quad (17)$$

Članovi u jednadžbi predstavljaju:

- ϑ_m - srednja temperatura rashladnog medija
- $\Delta\vartheta_{wn}$ - temperatura hladne vode
- ϑ_p - unutarnja projektna temperatura grijanja
- ϑ_{vx} - prosječna srednja temperatura izračunata za period grijanja na dnevnoj bazi
- ϑ_{vz} - vanjska projektna temperatura hlađenja

te ovaj proračun projektne vrijednosti temperature iznose:

$$\begin{aligned}\vartheta_p &= 26 \text{ °C} \\ \vartheta_{vz} &= 29,3 \text{ °C}\end{aligned}$$

Temperatura rashladnog medija u povratnom vodu računa se prema formuli:

$$\vartheta_{w\text{povrat}} = \vartheta_m - \frac{\Delta\vartheta_{wn}}{2} \cdot \frac{\vartheta_p - \vartheta_{vx}}{(\vartheta_p - \vartheta_{vz})_n}, [\text{°C}] \quad (18)$$

Srednja temperatura rashladnog medija računa se prema formuli:

$$\vartheta_m = \vartheta_p + \Delta\vartheta_n \cdot \left[\frac{\vartheta_p - \vartheta_{vx}}{(\vartheta_p - \vartheta_{vz})_n} \right]^{\frac{n}{1+n}}, [\text{°C}] \quad (19)$$

a $\Delta\vartheta_n$ se izračunava prema formuli:

$$\Delta\vartheta_n = \frac{\vartheta_{wp} + \vartheta_{wpov}}{2} - \vartheta_p, [\text{°C}] \quad (20)$$

Ulagani podaci temperature polaznog i povratnog voda za hlađenje iznose:

$$\begin{aligned}\vartheta_{wp} & - 7^{\circ}\text{C} \\ \vartheta_{wpov} & - 12^{\circ}\text{C}\end{aligned}$$

Prema tome slijedi da je:

$$\Delta\vartheta_n = \frac{7 + 12}{2} - 26 = -16,5^{\circ}\text{C} \quad (21)$$

Za izračun temperature polaznog i povratnog voda rashladnog medija za svaki period hlađenja, prema gornjim formulama izračunati su ulagani parametri potrebni za ovaj proračun. Sljedeća tablica prikazuje vrijednosti temperature polaznog i povratnog voda za svaki trodnevni period.

Tablica 35. Vrijednosti temperatura polaznog i povratnog voda rashladnog medija

		Trodnevni prosjek temperature polaznog i povratnog voda rashladnog medija($^{\circ}\text{C}$)					
		Mjesec 06/2016			Mjesec 07/2016		
		ϑ_{wpolaz}	$\vartheta_{wpovrat}$	ϑ_m	ϑ_{wpolaz}	$\vartheta_{wpovrat}$	ϑ_m
Raspored dana	1-3				8.03	12.69	10.36
	4-6				30.81	30.93	30.87
	7-9				55.60	46.85	51.23
	10-12				49.31	43.89	46.60
	13-15				48.30	42.90	45.60
	16-18	34.66	33.67	34.16	38.00	36.35	37.18
	19-21	16.98	18.94	17.96	14.27	17.00	15.63
	22-24	46.73	41.43	44.08	7.31	12.21	9.76
	25-27/28	5.30	10.86	8.08	11.32	13.19	13.13
	28-30/31	19.69	20.94	20.31	31.28	32.68	31.26
Raspored dana		Mjesec 08/2016			Mjesec 09/2016		
		ϑ_{wpolaz}	$\vartheta_{wpovrat}$	ϑ_m	ϑ_{wpolaz}	$\vartheta_{wpovrat}$	ϑ_m
		41.12	37.81	39.46	38.99	37.26	38.13
		30.29	30.66	30.48	42.18	34.07	52.52
		18.55	20.09	19.32	44.04	32.21	59.80
		6.83	11.89	9.36	41.50	34.75	51.25
		47.75	42.75	45.25	40.04	36.21	43.72
		39.30	37.37	38.34			
		18.63	20.16	19.40			
		36.58	35.26	35.92			
		30.47	31.11	30.79			
		8.75	13.18	10.96			

Izvor: vlastiti

Tablica 35. prikazuje vrijednosti temperatura polaznog i povratnog voda rashladnog medija i vrlo je bitno za daljnji proračun uočiti sljedeće. Prema formuli prvo se u mjesecu lipnju u periodu od 16-18 dana i 22-24 dana pojavljuju vrijednosti koje nisu tipične za ovu vrstu proračuna, također se pojavljuju takve vrijednosti u srpnju za period od 9-18 dana, u kolovozu za period od 1-3, 13-18 te 22-24 dana i za cijelu prvu polovicu rujna. U proračunu se dogodilo sljedeće, projektna unutarnja temperatura je iznosa 26°C kada u formulu (17), (18) i (19) uvrstimo prosječnu dnevnu temperaturu koja je niža od 26°C vrijednost temperature polaznog voda je viša od vrijednosti temperature povratnog voda što je adekvatno za slučaj proračuna temperature polaznog i povratnog voda ogrjevnog medija. Dakle prema rezultatima postojala bi veća temperatura na ulazu a manja na izlazu što znači da se toplina odvodi (predaje se grijanom prostoru) ogrjevni medij se hlađi i nastupa grijanje prostora. U ovome slučaju kada nastupa hlađenje polazni vod mora biti manje temperature, polazni vod se ugrije jer je niže temperature od temperature prostorije koja se hlađi. Stoga se periodi koji su označeni crveno ne uzimaju kod daljnog proračuna potrebne rashladne energije jer bi u tim periodima trebalo prostor grijati prostor a ne hladiti. Glavni razlog ove pojave jest prosječna dnevna temperatura koja je niža od projektne unutarnje temperature za hlađenje. Ovi podaci specifični su za razmatrani period hlađenja a za neki drugi period hlađenja bili bi drugačiji.

Prema tome slijedi formula za izračun potrebne rashladne snage za period hlađenja.

$$Q_h = m_w \cdot c_{pw} \cdot (\vartheta_{wp} - \vartheta_{wpov}), [\text{kW}] \quad (22)$$

Gdje je :

- | | |
|--------------------|---|
| c_{pw} | - specifični toplinski kapacitet vode, [4,186 kJ/kgK] |
| m_w | - masa vode, kod hlađenja, [kg] |
| ϑ_{wp} | - temperatura polaznog voda, [$^{\circ}\text{C}$] |
| ϑ_{wpov} | - temperatura povratnog voda, [$^{\circ}\text{C}$] |

Proračun se radi na način da je m_w konstantan a ϑ_{wp} i ϑ_{wpov} su varijabilni u odnosu na prosječnu vanjsku dnevnu temperaturu za određeni mjesec prikazano u tablici 35. Vrijednost

m_w dobije se prema formuli (22) za vrijednosti $Q_h = 18 \text{ kW}$ te poznatim vrijednostima c_{pw} i maksimalnim temperaturama polaza i povrata koje iznose 7°C i 12°C .

Tablica 36. Prikaz potrebne rashladne snage po periodima na dnevnoj bazi

		Potrebna Q_H(kW) od 8:59-19:59h			
		Mjesec 06/2016	Mjesec 07/2016	Mjesec 08/2016	Mjesec 09/2016
Broj dana	1-3	16.79	/	/	
	4-6	0.42	1.33	/	
	7-9	/	5.56	/	
	10-12	/	18.20	/	
	13-15	/	/	/	
	16-18	/	/	/	
	19-21	7.07	9.84	5.47	
	22-24	/	17.64	/	
	25-27/28	17.73	6.73	2.28	
	28-30/31	4.51	5.03	15.95	

Izvor: vlastiti

Tablica 37. Prikaz potrebne rashladne snage po periodima na trodnevnoj bazi

		Potrebna Q_H (kW) za 3 dana od 8:59-19:59h			
		Mjesec 06/2016	Mjesec 07/2016	Mjesec 08/2016	Mjesec 09/2016
Broj dana	1-3	50.36	/	/	
	4-6	1.27	4.00	/	
	7-9	/	16.67	/	
	10-12	/	54.61	/	
	13-15	/	/	/	
	16-18	/	/	/	
	19-21	21.21	29.52	16.42	
	22-24	/	52.91	/	
	25-27/28	53.18	20.18	6.85	
	28-30/31	13.52	15.08	47.86	

Izvor: vlastiti

Tablica 38. Potrebna rashladna energija u periodu hlađenja

		Potrebna Q_H(kWh) 3 dana i 12h			
		Mjesec 06/2016	Mjesec 07/2016	Mjesec 08/2016	Mjesec 09/2016
Broj dana	1-3	465.36	/	/	
	4-6	11.76	504.56	/	
	7-9	/	154.00	/	
	10-12	/	504.56	/	
	13-15	/	/	/	
	16-18	/	/	/	
	19-21	196.00	272.72	151.76	
	22-24	/	488.88	/	
	25-27/28	555.52	186.48	63.28	
	28-30/31	124.88	139.32	442.26	

Izvor: vlastiti

Iz tablica je vidljivo da period hlađenja ne traje 93 dana kako je definirano na početku 5. poglavlja nego je to jednako 44 dana kako je dobiveno prema proračunu. Tablice prikazuju periode kada nastupa proces hlađenja te kada zbog nižih vanjskih prosječnih temperatura nije potrebno uključiti dizalicu topline za hlađenje prostora. Pa prema tome za godinu 2016 ispada da nije bilo potrebno hladiti gotovo 39 dana u definiranom periodu hlađenja. Sve čelije u tablici koje su označene sa „/“ za njih nije računata potrebna rashladna snaga jer je u tom periodu bila vanjska temperatura zraka niža od 26°C te nije bilo potrebe za hlađenjem.

5.5. Ekonomičnost prema učestalosti rada pojedinog sustava

Kroz sezonu grijanja postoji različita količina insolacije prema zemljinoj površini pa se prema tome mijenja vrijeme rada dizalice topline. Toplinska energija dobivena inoslacijom prioritet je korištenja kod rada sustava grijanja, dakle iskorištava se maksimalna toplinska energija koja je dobivena insolacijom a ostatak se dopunjaje radom dizalice topline, u nastavku su prikazani odnosi koje je moguće postići za period grijanja od 1.10.2015 do 15.04.2016. Prije toga u tablici 39. prikazana je dostupna količina toplinske energije insolacijom za period od 3 dana od 24 sata i površinu od 24 m^2 . Uzeta je površina od 24 m^2 jer se kod te površine pri određenim danima postiže potrebne količina toplinske energije.

Tablica 39. Prikaz insolacije po periodima za mjesecce grijanja

DAN ↓	Insolacija u kWh za tri dana od 72h i 24m ²						
	Mjesec/Godina						
	10/2015	11/2015	12/2015	01/2016	02/2016	03/2016	04/2016
1-3	329.26	291.78	155.18	34.67	91.92	152.02	327.46
4-6	327.79	287.76	121.04	4.28	235.27	154.87	454.59
7-9	59.74	224.69	26.88	36.23	77.88	112.23	238.26
10-12	102.44	205.96	130.70	92.85	119.89	163.82	457.66
13-15	36.71	168.93	164.77	133.86	92.82	177.33	387.68
16-18	117.28	208.49	51.16	173.62	30.75	294.01	
19-21	132.78	112.23	142.81	140.97	163.22	399.14	
22-24	187.10	81.43	211.43	105.06	175.12	194.24	
25-27	217.32	28.28	219.68	194.24	113.11	232.26	
29-30/31	196.23	167.90	130.21	162.41	67.01	342.21	

Izvor: vlastiti

Iz tablice je vidljivo da ju u rujnu, travnju i prvoj polovici studenog insolacija relativno visoka pa bi u nekim danima mogla pokrivati cijelokupne potrebe za grijanjem što će se kasnije vidjeti u tablicama.

Sljedeća tablica prikazuje ukupnu potrebnu toplinsku energiju za pojedini period grijanja, vrijeme grijanja prostorije traje 24 sata kada je vanjska prosječna temperatura niža od -6 °C. U ovome slučaju za godinu 2015/2016 prosječna temperatura se ne spušta ispod -5 °C pa se vrijeme grijanje uzima 16 sati dnevno.

Tablica 40. Ukupna potrebna toplinska energija za period grijanja

		Potrebna Q za tri dana grijanja [kWh] i 16h u režimu grijanja			
		Mjesec 10/2015	Mjesec 11/2015	Mjesec 12/2015	Mjesec 01/2016
Broj dana	1-3	370.73	277.78	605.87	677.42
	4-6	278.83	346.48	571.00	701.36
	7-9	217.34	372.00	515.94	692.05
	10-12	286.18	253.21	631.26	685.41
	13-15	338.03	391.37	739.30	570.28
	16-18	263.32	605.65	737.62	509.21
	19-21	332.61	659.35	662.87	721.23
	22-24	350.14	530.26	469.06	783.38
	25-27	301.76	547.11	698.19	788.23
	28-29/-30/31	225.69	774.71	696.37	686.65
Ukupno:		2964.64	4757.90	6327.49	6815.22
Broj dana		Mjesec 02/2016	Mjesec 03/2016	Mjesec 04/2016	
	1-3	457.27	425.56	338.35	
	4-6	670.87	386.36	354.79	
	7-9	694.85	273.76	314.63	
	10-12	556.14	454.79	450.18	
	13-15	577.69	459.98	467.89	
	16-18	549.91	366.03		
	19-21	513.01	530.35		
	22-24	672.99	396.43		
	25-27	462.60	498.28		
Ukupno:		5602.18	4201.57	1925.84	

Izvor: vlastiti

Kada bi u sustavu grijanja bila samo dizalica topline zrak/voda onda bi ona morala zadovoljiti ove mjesечne potrebe za grijanjem kako je prikazano u tablici 40., a pošto se radi o sinkronizaciji sa solarnim kolektorima jedan dio koji je dostupan insolacijom pokrit će solarni kolektori.

Sljedeći izraz (23) prikazuje način izračuna koliko toplinske energije pokriva dizalica topline, a koliko insolacija.

$$Q_{uk} = Q_{DT} + Q_{INS}, [\text{kWh}] \quad (23)$$

Gdje je :

Q_{uk} - Ukupna potrebna toplinska energija za grijanje, kWh

Q_{DT} - Toplinska energija osigurana dizalicom topline, kWh

Q_{INS} - Toplinska energija osigurana insolacijom, kWh

Iz izraza (23) na temelju poznate vrijednosti ukupne potrebne toplinske energije za grijanje i poznate dostupne energije insolacijom dobiva se koliku je toplinsku energiju potrebno nadoknaditi dizalicom topline, što se vidi iz tablice 41.

Tablica 41. Odnosi toplinske energije dobiveni insolacijom i dizalicom topline

		Odnosi Q_{DT} i Q_{INS} [kWh]							
		Mjesec 10/2015		Mjesec 11/2015		Mjesec 12/2015		Mjesec 01/2016	
		Q_{DT}	Q_{INS}	Q_{DT}	Q_{INS}	Q_{DT}	Q_{INS}	Q_{DT}	Q_{INS}
Broj dana	1-3	41.47	329.26	-14.00	291.78	450.69	155.18	642.74	34.67
	4-6	-48.96	327.79	58.72	287.76	449.96	121.04	697.08	4.28
	7-9	157.60	59.74	147.31	224.69	489.07	26.88	655.82	36.23
	10-12	183.74	102.44	47.24	205.96	500.55	130.70	592.57	92.85
	13-15	301.32	36.71	222.44	168.93	574.53	164.77	436.42	133.86
	16-18	146.05	117.28	397.15	208.49	686.47	51.16	335.60	173.62
	19-21	199.83	132.78	547.12	112.23	520.07	142.81	580.26	140.97
	22-24	163.04	187.10	448.83	81.43	257.63	211.43	678.32	105.06
	25-27	84.44	217.32	518.83	28.28	478.52	219.68	594.00	194.24
	28-29/-30/31	29.46	196.23	606.81	167.90	566.16	130.21	524.25	162.41
	Ukupno :	1306.95	1706.65	2994.46	1777.45	4973.63	1353.85	5737.04	1078.18
	Odnos u postocima[%]	43.37	56.63	62.75	37.25	78.60	21.40	84.18	15.82
Broj dana		Mjesec 02/2016		Mjesec 03/2016		Mjesec 04/2016			
		Q_{DT}	Q_{INS}	Q_{DT}	Q_{INS}	Q_{DT}	Q_{INS}		
		365.35	91.92	273.55	152.02	10.89	327.46		
		435.60	235.27	231.49	154.87	-99.80	454.59		
		616.97	77.88	161.53	112.23	76.37	238.26		
		436.26	119.89	290.96	163.82	-7.48	457.66		
		484.87	92.82	282.66	177.33	80.21	387.68		
		519.16	30.75	72.02	294.01				
		349.79	163.22	131.21	399.14				
		497.87	175.12	202.20	194.24				
		349.49	113.11	266.02	232.26				
		379.84	67.01	67.80	342.21				
Ukupno :	4435.20	1166.99	1979.44	2222.13	167.47	1865.65			
Odnos u postocima[%]	79.17	20.83	47.11	52.89	8.24	91.76			

Izvor: vlastiti

Odnosi uključivanja dizalice topline i solarnih kolektora prikazani su u tablici iznad i uokvireni žutom bojom. Također u tablici je vidljivo koliko se maksimalno toplinske energije može dobiti na mjesecnoj bazi za potrebe grijanja iz insolacije te koju razliku je potrebno nadoknaditi dizalicom topline. Prema tome za listopad ukupno 56,63% toplinske energije moguće je dobiti iz insolacije dok ostatak 43,35% otpada na dizalicu topline. U studenom ima manje sunčanih dana pa se tako taj odnos povećava u korist dizalice topline i iznosi 62,75% naprema 37,25% toplinske energije od insolacije. U prosincu, siječnju i veljači sve je manje sunčanih dana pa se maksimalna toplinska energija dobivena insolacijom kreće oko 20% ukupnih potreba za toplinskom energijom. U ožujku i travnju sve je više sunčanih dana pa je sve manja potreba za radom dizalice topline. U tablici je crveno uokvirena vrijednost u određenom periodu gdje se dobije više toplinske energije insolacijom nego je to trenutna potreba te se u tim periodima dizalica topline uopće ne uključuje.

6. Zaključak

Obnovljivi izvori energije itekako su dostupni na području grada Varaždina. Obnovljivi izvori mogu se implementirati u razne sustave grijanja i hlađenja. Grijati i hladiti može se dizalicom topline u kombinaciji sa solarnim kolektorima. Dizalice topline su vrlo efikasni termo-tehnički uređaji koji mogu koristiti kao medij okolni zrak, podzemnu vodu i tlo te prenositi toplinsku i rashladnu energiju na ogrjevni i rashladni medij. Solarni kolektori prema izvedbi dijele se na pločasti i cijevni (vakuumski) te svaki od njih ima svoje dobre i loše strane, te se odabiru ovisno o namjeni i ugradnji. Vrlo je bitno kod projektiranja grijanja ili hlađenja uzeti u obzir sve važne utjecajne parametre, poput prosječne dnevne temperature ili insolacije, itd. Ovi parametri su vrlo bitni jer se na temelju njih računaju veličine koje karakteriziraju termo-tehnički sustav. Na temelju izračunatih prosječnih dnevnih temperatura vidi se da one za područje grada Varaždina nisu konstante i da tijekom perioda hlađenja variraju do 5 °C što nije previše široko rasipanje. Za period grijanja vrijednosti vanjske prosječne temperature dosta variraju, mogu u jednom mjesecu biti u rasponu od 12°C što naravno utječe na rad dizalice topline i iskorištavanje toplinske energije sa solarnih kolektora. U sustavu grijanja i hlađenja dizalicom topline u kombinaciji sa solarnim kolektorima, dizalica topline radi čitav period hlađenja(potrebna rashladna energija 3743,34 kWh) jer je kao takva solarna energija neiskoristiva a potrebna rashladna energija , ali u periodu grijanja(potrebna toplinska energija za grijanje 21594,17 kWh,) može biti dobra podrška sustavu dizalice topline za grijanje jer se insolacijom dobiva 11170,9 kWh toplinske energije, što je više od 50% od ukupne energije. U prijelaznim periodima kao što je listopad, ožujak i travanj količina insolacije je veća od polovice potrebe za toplinskom energijom te je čak moguće dobiti i preko 80% toplinske energije za grijanje preko insolacije. Za listopad ukupno 56,63% toplinske energije moguće je dobiti iz insolacije dok ostatak 43,35% otpada na dizalicu topline. U studenom ima manje sunčanih dana pa se tako taj odnos povećava u korist dizalice topline i iznosi 62,75% naprema 37,25% toplinske energije insolacije. U prosincu, siječnju i veljači sve je manje sunčanih dana pa se maksimalna toplinska energija dobivena insolacijom kreće oko 20% ukupnih potreba za toplinskom energijom. U ožujku i travnju sve je više sunčanih dana pa je sve manja potreba za radom dizalice topline.

Sveučilište Sjever



IZJAVA O AUTORSTVU I SUGLASNOST ZA JAVNU OBJAVU

Završni/diplomski rad isključivo je autorsko djelo studenta koji je isti izradio te student odgovara za istinitost, izvornost i ispravnost teksta rada. U radu se ne smiju koristiti dijelovi tudihih radova (knjiga, članaka, doktorskih disertacija, magistarskih radova, izvora s interneta, i drugih izvora) bez navođenja izvora i autora navedenih radova. Svi dijelovi tudihih radova moraju biti pravilno navedeni i citirani. Dijelovi tudihih radova koji nisu pravilno citirani, smatraju se plagijatom, odnosno nezakonitim prisvajanjem tuđeg znanstvenog ili stručnoga rada. Sukladno navedenom studenti su dužni potpisati izjavu o autorstvu rada.

Ja, Matej Detić pod punom moralnom, materijalnom i kaznenom odgovornošću, izjavljujem da sam isključivi autor diplomskog rada pod naslovom Sinkronizacija sunčevih kolektora i dizalice topline zrak/voda u sustavu grijanja i hlađenja građevine te da u navedenom radu nisu na nedozvoljeni način (bez pravilnog citiranja) korišteni dijelovi tudihih radova.

Student/ica:
(upisati ime i prezime)

Matej Detić

(vlastotučni potpis)

Sukladno Zakonu o znanstvenoj djelatnosti i visokom obrazovanju završne/diplomske radove sveučilišta su dužna trajno objaviti na javnoj internetskoj bazi sveučilišne knjižnice u sastavu sveučilišta te kopirati u javnu internetsku bazu završnih/diplomskih radova Nacionalne i sveučilišne knjižnice. Završni radovi istovrsnih umjetničkih studija koji se realiziraju kroz umjetnička ostvarenja objavljaju se na odgovarajući način.

Ja, Matej Detić neopozivo izjavljujem da sam suglasan s javnom objavom diplomskog rada pod naslovom Sinkronizacija sunčevih kolektora i dizalice topline zrak/voda u sustavu grijanja i hlađenja građevine čiji sam autor.

Student/ica:
(upisati ime i prezime)

Matej Detić

(vlastotučni potpis)

7. Literatura

- [1] Što su dizalice topline i kako rade (2020). Preuzeto 18.08.2020. sa <https://regulator.hr/savjeti/sto-su-dizalice-topline-kako-rade/>
- [2] Soldo, V. Ruševljan, M. (2011). Razvoj i primjena dizalica topline povezanih s tlom Preuzeto 18.08.2020. sa <https://korak.com.hr/korak-034-lipanj-2011-razvoj-i-primjena-dizalica-topline-povezanih-s-tlom/>
- [3] Shematski prikaz dizalice topline u krugu grijanja [Slika] (bez dat.) Preuzeto 18.08.2020. sa <https://korak.com.hr/wp-content/gallery/sos-k034/k34-Vladimir-Soldo-02-350.jpg>
- [4] Martinić, D. (2010). Pasivna kuća – 6. dio Dizalice topline – 2. dio Preuzeto 18.08.2020. sa <https://korak.com.hr/korak-030-lipanj-2010-pasivna-kuca-6-dio-dizalice-topline-2-dio/>
- [5] EKO – PLUS (bez dat.) Toplinske pumpe Preuzeto 19.08.2020. sa http://www.eko-puls.hr/Toplinske_pumpe.aspx
- [6] Izvedbe podzemnih kolektora , Toplinske pumpe [Slika] (bez dat.) Preuzeto 19.08.2020. sa http://www.eko-puls.hr/image/slike/Crpke/toplinske_pumpe06.jpg
- [7] Dubinska sonda, Toplinske pumpe [Slika] (bez dat.) Preuzeto 19.08.2020. sa http://www.eko-puls.hr/image/slike/Crpke/toplinske_pumpe10.jpg
- [8] Toplinska pumpa voda – voda, Toplinske pumpe [Slika] (bez dat.) Preuzeto 19.08.2020. sa http://www.eko-puls.hr/image/slike/Crpke/toplinske_pumpe20.jpg
- [9] Dizalice topline (2020.) Preuzeto 19.08.2020 sa <https://www.vaillant.hr/krajnji-korisnici/savjeti-i-iskustvo/kako-razlicite-tehnologije-rade/dizalice-topline/>
- [10] Solarni kolektori (2020.) Preuzeto 20.08.2020 sa <https://mcsolar.hr/solarni-kolektori/>
- [11] Dujak, G. (2012). Izrada digitalne dokumentacije pločastog kolektora sunčevog zračenja (Diplomski rad). Strojarski fakultet u Slavonskom Brodu, Slavonski Brod, Sveučilište Josipa Jurja Strossmayera u Osijeku
- [12] Solarna energija (2020.) Preuzeto 20.08.2020 sa <https://www.vaillant.hr/krajnji-korisnici/savjeti-i-iskustvo/kako-razlicite-tehnologije-rade/solar-energija/>

- [13] Shema sustava sa solarnim kolektorom, Primjena solarnih kolektora u kućanstvu [Slika] (bez dat.) Preuzeto 20.08.2020. sa <https://eko.zagreb.hr/UserDocsImages/arhiva/Slike/solarni%20konektori/Primjena%20Solarnih%20kolektora%20u%20ku%C4%87anstvu.jpg>

- [14] Solarno grijanje (bez dat.) Preuzeto 20.08.2020. sa http://www.eko-puls.hr/Solarne_instalacije.aspx
- [15] Solarni kolektori (bez dat.) Preuzeto 20.08.2020. sa <https://eko.zagreb.hr/solarni-kolektori/86>
- [16] Pločasti solarni kolektori (bez dat.) Preuzeto 20.08.2020. sa <https://termometal.hr/solarni-kolektori-solimpeks-grupa-557/>
- [17] Upadni kut sunca kroz godinu , Solarni kolektori [Slika] (bez dat.) Preuzeto 20.08.2020. sa <https://eko.zagreb.hr/UserDocsImages/arhiva/Slike/solarni%20konektori/Prikazan%20je%20kut%20inklinacije2.jpg>
- [18] Pločasti kolektor sa svojim dijelovima, Centrometal [Slika] (bez dat.) Preuzeto 20.08.2020. sa <https://www.centrometal.hr/portfolio/cpk-7210n-alu-pločasti/>
- [19] Vakumski cijevni kolektor, Centrometal [Slika] (bez dat.) Preuzeto 20.08.2020. sa <https://www.centrometal.hr/portfolio/cvskc-10-cijevni-vakuumski/>
- [20] Shema bivalentnog spremnika topline, Žepoh [Slika] (bez dat.) Preuzeto 21.08.2020. sa <https://zepoh.hr/proizvod/spremnici-7/boilernova-spremnici-33/boilernova-solarni-bivalentni-spremnici-62>
- [21] Tablični prikazi meteoroloških veličina, položaja i visina za klimatski mjerodavne meteorološke postaje (bez dat) Preuzeto 31.08.2020. sa <https://narodne-novine.nn.hr/clanci/sluzbeni/dodatni/432856.pdf>
- [22] Dizalica topline Hitachi, 4REF [Slika] (bez dat.) Preuzeto 02.09.2020. sa <https://4ref.eu/pl/hitachi/7049-p7049-pompa-ciepla-hitachi-yutaki-s-rwm-100ne-ras-10whnpe.html>
- [23] The European Commission's science and knowledge service, Photovoltaic Geographical Information System (PVGIS), (bez dat.) Preuzeto 18.09.2020. sa https://re.jrc.ec.europa.eu/pvg_tools/en/#MR

Popis slika

Slika 1. Dizalica topline (Shematski prikaz dizalice topline u krugu grijanja, bez dat.)	2
Slika 2. Izvedbe podzemnih kolektora (Toplinske pumpe, bez dat.)	4
Slika 3. Dubinska sonda (Toplinske pumpe, bez dat.)	4
Slika 4. Toplinska pumpa voda – voda (Toplinske pumpe, bez dat.)	6
Slika 5. Shema sustava sa solarnim kolektorom (Primjena solarnih kolektora u kućanstvu, bez dat.).....	11
Slika 6. Upadni kut sunca kroz godinu (Solarni kolektori , bez dat.)	13
Slika 7. Pločasti kolektor sa svojim dijelovima (Centrometal, bez dat.)	14
Slika 8. Vakumski cijevni kolektor (Centrometal, bez dat.)	15
Slika 9. Shema bivalentnog spremnika topline (Žepoh, bez dat.).....	16
Slika 10. Vanjska i unutarnja jedinica dizalice topline Yutaki S10(4REF, bez dat.).....	22

Popis tablica

Tablica 1. Prednosti i nedostaci dizalice topline	9
Tablica 2. Prosječne dnevne vrijednosti po mjesecima za grad Varaždin	17
Tablica 3. Projektne vrijednosti prema metodologiji iz HRN EN ISO 15927-5(Narodne novine, bez dat.)	18
Tablica 4. Vrijednosti za projektiranje prema Tehničkom propisu za grad Varaždin	19
Tablica 5. Globalno sunčevvo zračenja na području grada Varaždina kroz godinu po mjesecima	20
Tablica 6. Tehničke karakteristike dizalice topline Yutaki S10 Error! Bookmark not defined.	
Tablica 7. Tehničke karakteristike unutarnje jedinice dizalice topline	22
Tablica 8. Tehničke karakteristike vanjske jedinice dizalice topline	22
Tablica 9. Tehničke karakteristike pločastog sunčevog kolektora tvrtke „Centrometal“	23
Tablica 10. Broj dana mjeseca u sezoni grijanja.....	26
Tablica 11. Broj dana mjeseca u sezoni hlađenja.....	26
Tablica 12. Prosječne temperature za mjesec listopad	28
Tablica 13. Prosječne temperature za mjesec studeni	28
Tablica 14. Prosječne temperature za mjesec prosinac	29
Tablica 15. Prosječne temperature za mjesec siječanj	30

Tablica 16. Prosječne temperature za mjesec veljača	30
Tablica 17. Prosječne temperature za mjesec ožujak	31
Tablica 18. Prosječne temperature za mjesec travanj	32
Tablica 19. Prosječne temperature za mjesec lipanj	34
Tablica 20. Prosječne temperature za mjesec srpanj	34
Tablica 21. Prosječne temperature za mjesec kolovoz.....	35
Tablica 22. Prosječne temperature za mjesec rujan	36
Tablica 23. Prosječna insolacija u W/m^2 po satu za određeni dan i perioda grijanja.....	38
Tablica 24. Prikaz prosječne insolacije (po danu) za definirani raspon dana i određeni mjesec	39
Tablica 25. Faktor oblačnosti	40
Tablica 26. Insolacija za mjesec listopad	40
Tablica 27. Insolacija za mjesec studeni	41
Tablica 28. Insolacija za mjesec prosinac	41
Tablica 29. Insolacija za mjesec siječanj	42
Tablica 30. Insolacija za mjesec veljača	43
Tablica 31. Insolacija za mjesec ožujak	43
Tablica 32. Insolacija za mjesec travanj.....	44
Tablica 33. Prikaz temperature ogrjevnog medija polaznog i povratnog voda.....	48
Tablica 34. Potrebna QG po danima i mjesecima	49
Tablica 35. Potrebna QG po periodima za tri dana	49
Tablica 36. Vrijednosti temperatura polaznog i povratnog voda rashladnog medija.....	51
Tablica 37. Prikaz potrebne rashladne snage po periodima na dnevnoj bazi.....	53
Tablica 38. Prikaz potrebne rashladne snage po periodima na trodnevnoj bazi	53
Tablica 39. Potrebna rashladna energija u periodu hlađenja.....	53
Tablica 40. Prikaz insolacije po periodima za mjesec grijanja	54
Tablica 41. Ukupna potrebna toplinska energija za period grijanja.....	55
Tablica 42. Odnosi toplinske energije dobiveni insolacijom i dizalicom topline	56

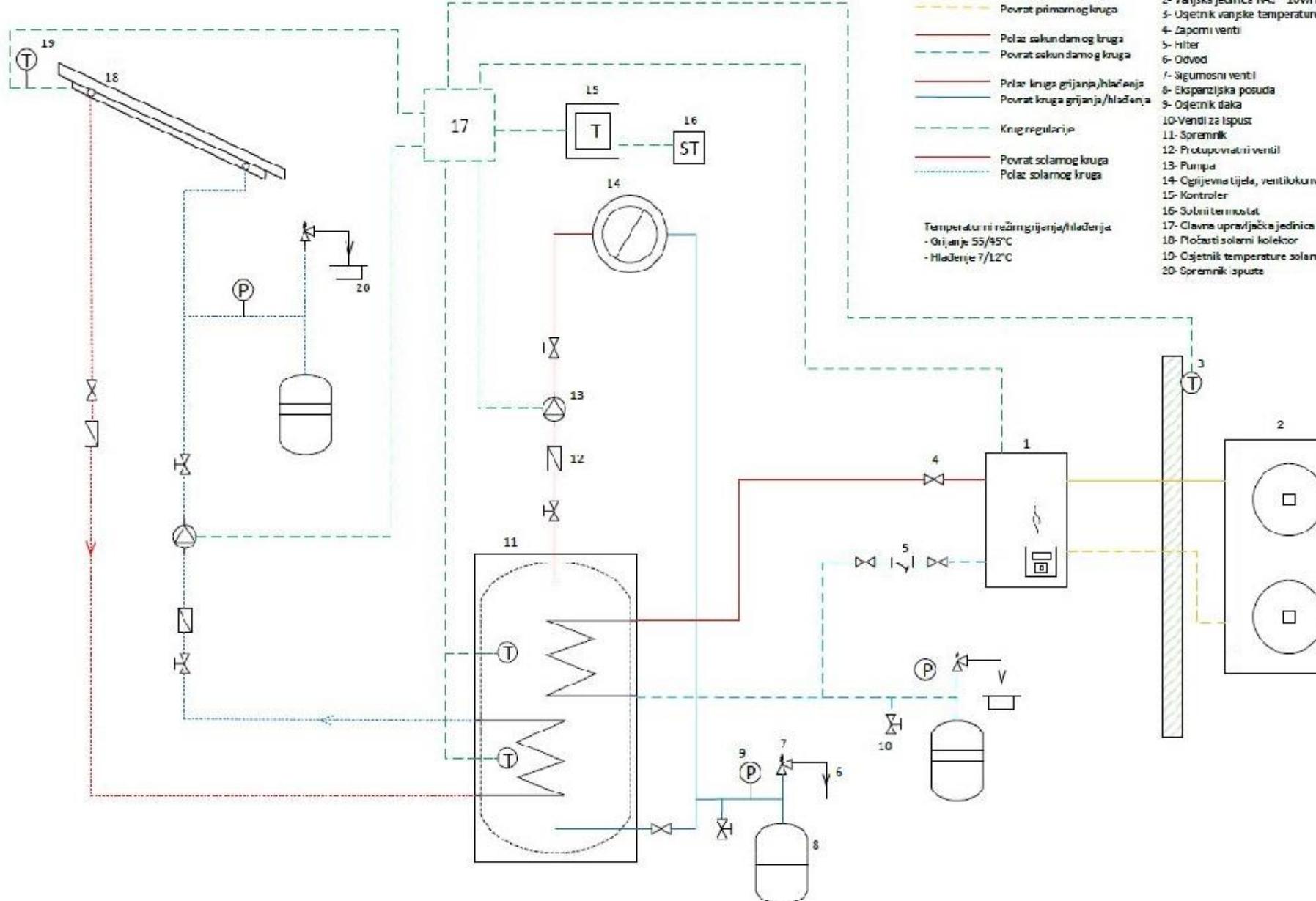
Popis grafikona

Grafikon 1. Prosječne temperature za mjesec listopad	28
Grafikon 2. Prosječne temperature za mjesec studeni.....	29
Grafikon 3. Prosječne temperature za mjesec prosinac.....	29
Grafikon 4. Prosječne temperature za mjesec siječanj	30
Grafikon 5 Prosječne temperature za mjesec veljača.....	31
Grafikon 6. Prosječne temperature za mjesec ožujak	31
Grafikon 7. Prosječne temperature za mjesec travanj	32
Grafikon 8. Prosječne vrijednosti temperatura svih mjeseci za period grijanja.....	33
Grafikon 9. Prosječne temperature za mjesec lipanj	34
Grafikon 10. Prosječne temperature za mjesec srpanj	35
Grafikon 11. Prosječne temperature za mjesec kolovoz	35
Grafikon 12. Prosječne temperature za mjesec rujan	36
Grafikon 13. Prosječne temperature za period hlađenja	37
Grafikon 14. Insolacija za mjesec listopad.....	40
Grafikon 15. Insolacija za mjesec studeni.....	41
Grafikon 16. Insolacija za mjesec prosinac.....	42
Grafikon 17. Insolacija za mjesec siječanj	42
Grafikon 18. Insolacija za mjesec veljača	43
Grafikon 19. Insolacija za mjesec ožujak.....	44
Grafikon 20. Insolacija za mjesec travanj	44
Grafikon 21. Odnosi insolacije kroz period grijanja	45

Prilozi:

Shema postrojenja,

CD



- 1- Dizalica topline Yutaki S10, Unutarnja jedinica RMW-10.0NE
 - 2- Vanjska jedinica RAS -10WHNPE
 - 3- Učesnik vanjske temperature
 - 4- Zaporni ventil
 - 5- Filter
 - 6- Odvod
 - 7- Sigurnosni ventil
 - 8- Ekspanzivna posuda
 - 9- Očjernik daka
 - 10-Ventil za ispuštanje
 - 11-Spremnik
 - 12-Protupropasti ventil
 - 13-Pumpa
 - 14-Grijevne lijeđa, ventilokonvektur
 - 15-Kontroler
 - 16-Sobni termostat
 - 17-Clavna upravljačka jedinica
 - 18-Rotacioni solarni kolektor
 - 19-Očjernik temperature solarnog kruga
 - 20-Spremnik ispušta
- Temperaturni režim grijanja/hlađenja:
 - Grijanje 55/45°C
 - Hlađenje 7/12°C

Mjerilo: 1:1	Datum: 28.09.2020.	Prezime i ime: Detić Matej	Sveučilište Sjever
Pozicija: 1	Pregledao: Ante Čikić		Materijal:
Broj crteža: 1		Naziv dijela: Shema postrojenja	